



ตัวทดสอบแรงดันอิมพัลส์

Impulse Voltage Tester

นายชราพงษ์ นำรุจ รหัส 46363255

นายวิศว หล่อวงศ์ รหัส 46363404

ที่ 081221 0.2

ห้องสมุดคณะวิศวกรรมศาสตร์
วันที่รับ..... พ.ศ 2550 /
เลขทะเบียน..... 5000098
เลขเรียกหนังสือ.....
มหาวิทยาลัยนเรศวร

ผู้ร.

๐๗๘๓

๒๕๔๙

ปริญญา呢ินพนนีเป็นส่วนหนึ่งของการศึกษาหลักสูตรปริญญาวิศวกรรมศาสตรบัณฑิต

สาขาวิชาวิศวกรรมไฟฟ้า ภาควิชาวิศวกรรมไฟฟ้าและคอมพิวเตอร์

คณะวิศวกรรมศาสตร์ มหาวิทยาลัยนเรศวร

ปีการศึกษา 2549



ใบรับรองโครงการวิศวกรรม

หัวข้อโครงการ ตัวทดสอบแรงดันอิมพัลส์

ผู้ดำเนินโครงการ	นายธราพงษ์ บ่ารุ่ง	รหัส 46363255
	นายวิภา หล่อวงศ์	รหัส 46363404
อาจารย์ที่ปรึกษา	ดร.สมยศ เกียรติวนิชวิไล	
สาขาวิชา	วิศวกรรมไฟฟ้า	
ภาควิชา	วิศวกรรมไฟฟ้าและคอมพิวเตอร์	
ปีการศึกษา	2549	

คณะวิศวกรรมศาสตร์ มหาวิทยาลัยนเรศวร อนุมัติให้โครงการฉบับนี้เป็นส่วนหนึ่งของการศึกษาตามหลักสูตรวิศวกรรมศาสตรบัณฑิต สาขาวิชาวิศวกรรมไฟฟ้า

คณะกรรมการสอบโครงการวิศวกรรม

ประธานกรรมการ

(ดร.สมยศ เกียรติวนิชวิไล)

กรรมการ

(ดร.จิรัติพนิษ พินทอง)

กรรมการ

(อาจารย์วีระคนธ์ ภาชนะพรัตน์)

หัวข้อโครงการ	ตัวทดสอบแรงดันอิมพัลส์		
ผู้ดำเนินโครงการ	นายธราพงษ์ บำรุง	รหัส 46363255	
	นายวิภา	หล่อองค์	รหัส 46363404
อาจารย์ที่ปรึกษา	ดร. สมยศ เกียรติวนิชวิไคร		
สาขาวิชา	วิศวกรรมไฟฟ้า		
ภาควิชา	วิศวกรรมไฟฟ้าและคอมพิวเตอร์		
ปีการศึกษา	2549		

บทคัดย่อ

โครงการนี้เป็นการศึกษาและออกแบบเครื่องกำเนิดแรงดันอิมพัลส์โดยแบ่งการค้นคว้าออกเป็น 3 ส่วน คือ ส่วนแรก เป็นการศึกษาและออกแบบการสร้างวงจรเครื่องกำเนิดแรงดันอิมพัลส์ ทั้งแบบคลื่นฟ้าผ่า และแบบสวิตซ์ชิ่ง และการหาค่าพารามิเตอร์ต่างๆ ในวงจร ในส่วนที่สองของการค้นคว้า คือการจำลองรูปคลื่นของวงจรเครื่องกำเนิดแรงดันอิมพัลส์โดยใช้โปรแกรม Pspice และการสร้างและติดตั้งอุปกรณ์ตัววัดแรงดันอิมพัลส์ขึ้น และในส่วนสุดท้าย คือแสดงการเปรียบเทียบการจำลองผลรูปคลื่นเปรียบเทียบกับผลการทดลองจริง โดยแสดงผลรูปคลื่นที่เกิดขึ้นจากการทดลองจริงและการจำลองจากโปรแกรม สอดคล้องกับรูปคลื่นตามทฤษฎี

Project Title	Impulse Voltage Tester		
Name	Mr. Tharapong Bumrung	ID. 46363255	
	Mr. Wissawa Hlowong	ID. 46363404	
Project Advisor	Dr. Somyot Kiattivanichvilai		
Major	Electrical Engineering		
Department	Electrical and Computer Engineering		
Academic Year	2006		

ABSTRACT

This project studies and designs impulse voltage generator. This research work is composed of three parts. In the first part, impulse voltage generator circuit in both lightning and switching pattern are studied, designed and calculated parameter of this circuit. The second part, is the simulation of impulse voltage generator circuit by using Pspice. The construction and design of impulse voltage generator and its equipment are described. Finally, the comparison between simulation and experimental results are shown. By the results, it is clearly shown that the simulation, experimental results and theory are accordingly.

กิตติกรรมประกาศ

ประชุมนิพนธ์ฉบับนี้เกิดขึ้นได้เนื่องจากการทำงานร่วมกันในหลายๆ ส่วน บุคคลแรกที่
ต้องกล่าวถึงคือ ดร. สมยศ เกียรติวนิชไว้ อาจารย์ที่ปรึกษา ดร. ชัยรัตน์ พินทอง และ
อาจารย์ปีกนัย ภาชนะพรรณ์ อาจารย์ที่ปรึกษาร่วม ที่ให้ความเอาใจใส่ แนะนำ และช่วยเหลือ
เสมอ รวมถึงอาจารย์ท่านอื่นๆ ที่มิได้กล่าวถึง ที่ได้เคยแนะนำ และให้คำปรึกษาในด้านความ
ข้องใจ ซึ่งต้องขอขอบพระคุณเป็นอย่างมากที่ให้การสนับสนุนผู้จัดทำโครงการให้สามารถทำ
โครงการขึ้นนี้จนสำเร็จลุล่วงไปได้ด้วยดี

ต้องขอขอบใจเพื่อนๆ ในสาขาวิชาศึกษาฯ ไฟฟ้าทุกคน ที่เคยให้ความช่วยเหลือและให้
คำแนะนำดีๆ และต้องขอขอบพระคุณบุคคลที่สำคัญที่สุดที่ทำให้พวกเข้ามีวันนี้ ก็คือ บิดา
มารดา อันเป็นที่เคารพยิ่ง ซึ่งได้เดิมพันเข้ามาเป็นอย่างดี พร้อมทั้งให้โอกาสในการศึกษา
อย่างเต็มที่ ในทุกๆ ด้านอันหาที่เปรียบมิได้ พากข้าพเจ้าขอระลึกในพระคุณอันสุดประมาณและ
ขอกราบขอบคุณมา ณ ที่นี่

ดร.พงษ์ บำรุง
วิภา หล่อวงศ์

สารบัญ

หน้า

บทคัดย่อภาษาไทย	ก
บทคัดย่อภาษาอังกฤษ	ข
กิตติกรรมประกาศ	ค
สารบัญ	ง
สารบัญตาราง	ด
สารบัญรูปภาพ	ช

บทที่ 1 บทนำ

1.1 ที่มาและความสำคัญของโครงการ	1
1.2 วัตถุประสงค์ของโครงการ	2
1.3 ขอบข่ายของโครงการ	2
1.4 ขั้นตอนของการดำเนินงาน	2
1.5 แผนการดำเนินงาน	3
1.6 ผลที่คาดว่าจะได้รับ	4
1.7 งบประมาณของโครงการ	4

บทที่ 2 ทฤษฎีพื้นฐานที่นำมาใช้

2.1 เครื่องกำเนิดแรงดันอิมพัลส์	7
2.2 วงจรพื้นฐานของเครื่องกำเนิดแรงดันอิมพัลส์	7
2.3 การสร้างแรงดันอิมพัลส์สวิตช์ชิ้ง	9
2.4 การออกแบบวงจรแรงดันอิมพัลส์	10

บทที่ 3 วิธีการดำเนินการ

3.1 การคำนวณหาค่าพารามิเตอร์ต่างๆ ตามทฤษฎี	12
3.2 การจำลองผลของวงจรเครื่องกำเนิดแรงดันอิมพัลส์โดยโปรแกรม PSpice	15
3.3 การสร้างตัววงจรเครื่องกำเนิดแรงดันอิมพัลส์	17

สารบัญ(ต่อ)

หน้า

บทที่ 4 ผลการวิเคราะห์รูปคลื่นแรงดันอินพัลส์

4.1 การจำลองผลของวงจรเครื่องกำเนิดแรงดันอินพัลส์โดยโปรแกรม PSpice	20
4.2 ผลการวิเคราะห์รูปคลื่นแรงดันอินพัลส์	22
4.3 การเปรียบเทียบรูปคลื่นแรงดันอินพัลส์จากการทดลองกับการจำลองผล ด้วยโปรแกรม Pspice	43

บทที่ 5 สรุปการวิเคราะห์รูปคลื่น

5.1 สรุปผล	46
5.2 ปัญหาและแนวทางแก้ไข	47
5.3 ข้อเสนอแนะ	47
เอกสารอ้างอิง	48
ประวัติผู้เขียน โครงงาน	49

สารบัญตาราง

ตารางที่

หน้า

2.1 ความสัมพันธ์ของค่า T_1/T_2 กับค่า $l/\alpha_1, l/\alpha_2$	10
4.1 ผลการทดลองกับการจำลองผลจาก Pspice เปรียบเทียบกับทฤษฎี	45



สารบัญรูปภาพ

รูปที่	หน้า
2.1 รูปคลื่นแรงดันอิมพัลส์รูปคลื่นฟ้าผ่า	6
2.2 รูปคลื่นแรงดันอิมพัลส์แบบสวิตชิ่ง	6
2.3 วงจรพื้นฐานของเครื่องกำเนิดแรงดันอิมพัลส์	7
2.4 วงจรสร้างแรงดันอิมพัลส์สวิตชิ่งด้วยหม้อแปลงทดสอบ	9
2.5 กราฟความสัมพันธ์ของสัมประสิทธิ์และยัตราร่วมของตัวเก็บกระแส	10
3.1 อุปกรณ์ที่ใช้ในวงจร	15
3.2 การวางแผนและการบัดกรีอุปกรณ์ลงในแผ่นปรินต์	16
3.3 ตัววงจรเครื่องกำเนิดแรงดันอิมพัลส์รูปคลื่นฟ้าผ่าที่สร้างเสร็จแล้ว	16
3.4 ตัววงจรเครื่องกำเนิดแรงดันอิมพัลส์รูปคลื่นแบบสวิตชิ่งที่สร้างเสร็จแล้ว	17
3.5 ขั้นตอนการสับสวิตช์เพื่อจับรูปคลื่นน้ำไปวิเคราะห์	18
3.6 การขยายรูปคลื่นเพื่อดูช่วงเวลาหน้าคลื่น	18
3.7 การขยายรูปคลื่นเพื่อดูช่วงเวลาหลังคลื่น	19
4.1 วงจรจำลองเครื่องกำเนิดแรงดันอิมพัลส์รูปคลื่นฟ้าผ่า	20
4.2 ผลการจำลองรูปคลื่นฟ้าผ่า	20
4.3 วงจรจำลองเครื่องกำเนิดแรงดันอิมพัลส์แบบสวิตชิ่ง	21
4.4 ผลการจำลองรูปคลื่นสวิตชิ่ง	21
4.5 รูปคลื่นฟ้าผ่าจากการทดลองครั้งที่ 1	23
4.6 ช่วงหน้าคลื่นการทดลองครั้งที่ 1 แบบขยาย	23
4.7 ช่วงหลังคลื่นการทดลองครั้งที่ 1 แบบขยาย	24
4.8 รูปคลื่นฟ้าผ่าจากการทดลองครั้งที่ 2	25
4.9 ช่วงหน้าคลื่นการทดลองครั้งที่ 2 แบบขยาย	25
4.10 ช่วงหลังคลื่นการทดลองครั้งที่ 2 แบบขยาย	26
4.11 รูปคลื่นฟ้าผ่าจากการทดลองครั้งที่ 3	27
4.12 ช่วงหน้าคลื่นการทดลองครั้งที่ 3 แบบขยาย	27
4.13 ช่วงหลังคลื่นการทดลองครั้งที่ 3 แบบขยาย	28
4.14 รูปคลื่นฟ้าผ่าจากการทดลองครั้งที่ 4	29
4.15 ช่วงหน้าคลื่นการทดลองครั้งที่ 4 แบบขยาย	29
4.16 ช่วงหลังคลื่นการทดลองครั้งที่ 4 แบบขยาย	30

สารบัญรูปภาพ(ต่อ)

รูปที่	หน้า
4.17 รูปคลื่นพื้นาผาการทดลองครั้งที่ 5	31
4.18 ช่วงหน้าคืนการทดลองครั้งที่ 5 แบบขยาย	31
4.19 ช่วงหลังคืนการทดลองครั้งที่ 5 แบบขยาย	32
4.20 รูปคลื่นสวิตซ์ชิ่งการทดลองครั้งที่ 1	33
4.21 ช่วงหน้าคืนการทดลองครั้งที่ 1 แบบขยาย	34
4.22 ช่วงหลังคืนการทดลองครั้งที่ 1 แบบขยาย	34
4.23 รูปคลื่นสวิตซ์ชิ่งการทดลองครั้งที่ 2	35
4.24 ช่วงหน้าคืนการทดลองครั้งที่ 2 แบบขยาย	36
4.25 ช่วงหลังคืนการทดลองครั้งที่ 2 แบบขยาย	36
4.26 รูปคลื่นสวิตซ์ชิ่งการทดลองครั้งที่ 3	37
4.27 ช่วงหน้าคืนการทดลองครั้งที่ 3 แบบขยาย	38
4.28 ช่วงหลังคืนการทดลองครั้งที่ 3 แบบขยาย	38
4.29 รูปคลื่นสวิตซ์ชิ่งการทดลองครั้งที่ 4	39
4.30 ช่วงหน้าคืนการทดลองครั้งที่ 4 แบบขยาย	40
4.31 ช่วงหลังคืนการทดลองครั้งที่ 4 แบบขยาย	40
4.32 รูปคลื่นสวิตซ์ชิ่งการทดลองครั้งที่ 5	41
4.33 ช่วงหน้าคืนการทดลองครั้งที่ 5 แบบขยาย	42
4.34 ช่วงหลังคืนการทดลองครั้งที่ 5 แบบขยาย	42
4.35 การเปรียบเทียบของรูปคลื่นพื้นา	43
4.36 กราฟเปรียบเทียบแรงดันอิมพัลส์รูปคลื่นพื้นาระหว่างการทดลองกับการจำลองผล	44
4.37 การเปรียบเทียบของรูปคลื่นสวิตซ์ชิ่ง	44
4.38 กราฟเปรียบเทียบแรงดันอิมพัลส์แบบสวิตซ์ชิ่งระหว่างการทดลองกับการจำลองผล	45

บทที่ 1

บทนำ

1.1 ที่มาและความสำคัญของโครงการ

แรงดันอิมพัลส์เป็นแรงดันสูง (High Voltage) ชนิดหนึ่งที่มีลักษณะของรูปคลื่นเลียนแบบมาจากแรงดันเกิน ซึ่งแรงดันเกินดังกล่าวมีโดยทั่วไปเกิดขึ้นได้ 2 ลักษณะ คือ ลักษณะแรกเป็นแรงดันเกินที่เกิดจากฟ้าผ่า เรียกว่าแรงดันอิมพัลส์รูปคลื่นฟ้าผ่า (Lightning Impulse-Voltage) และลักษณะที่สองเป็นแรงดันเกินที่เกิดจากการทำงานของสวิตช์ หรือความบกพร่องของชุดคนวนรวมถึงการเกิดการลัดวงจรเนื่องจากลิตเติ่งแบลอกปลอมต่างๆ ขึ้นภายในระบบสายส่ง เรียกว่าแรงดันอิมพัลส์แบบสวิตช์ซิ่ง (Switching Impulse Voltage) ชุดมุ่งหมายโดยทั่วไปนั้นก็เพื่อที่จะศึกษาและออกแบบเครื่องกำเนิดแรงดันอิมพัลส์เพื่อที่จะนำไปวิเคราะห์รูปคลื่นและแรงดันที่เกิดขึ้น ไปใช้ในการทดสอบอุปกรณ์ต่างๆ ในระบบสายส่งก่อนนำมาใช้งานว่าอุปกรณ์เหล่านั้นสามารถที่จะทนกับแรงดันเกินนี้ได้หรือไม่ อย่างไรก็ตามเนื่องจากในปัจจุบันชุดปฏิบัติการไฟฟ้าแรงสูงมีราคาแพงและมีการเรียนทางด้านวิศวกรรมไฟฟ้าแรงสูงหลายที่ และหลายที่ก็ไม่ได้ทำการทดสอบจริงทำให้บางครั้งเกิดความไม่เข้าใจในทฤษฎีต่างๆ ซึ่งการเรียนรู้ทฤษฎีและมีการปฏิบัติจริงไปพร้อมกันนั้น จะทำให้ผู้เรียนรู้เกิดความเข้าใจในหลักการ และทฤษฎีได้ดียิ่งขึ้นใน โครงการนี้เป็นการศึกษาและออกแบบเครื่องกำเนิดแรงดันอิมพัลส์เพื่ออาจใช้ในรายวิชาวิศวกรรมไฟฟ้าแรงสูง (High Voltage Engineering) เกี่ยวกับการวิเคราะห์รูปคลื่นที่เกิดจากแรงดันอิมพัลส์

เทคนิคการวัดแรงดันสูง (High Voltage) ในที่นี้คือแรงดันอิมพัลส์นั้น มีข้อแตกต่างจากการวัดแรงดันต่ำทั่วไปและที่สำคัญก็คือ ตัวอุปกรณ์วัด หรือผู้วัดจะต้องอยู่ห่างจากจุดที่ต้องการวัดมากพอที่จะไม่เกิดอันตราย และต้องอาศัยการวนที่ถูกต้องเหมาะสม ซึ่งขึ้นอยู่กับขนาดแรงดันที่จะวัด คือถ้าแรงดันสูงมากขึ้นระบบการวน และระบบห่างของผู้วัดจะต้องมากขึ้นตามไปด้วย ดังนั้น การวัดแรงดันอิมพัลส์จึงต้องใช้เทคนิคพิเศษบางประการ โดยอาศัยอุปกรณ์และเครื่องวัดช่วยซึ่งลักษณะของคุณสมบัติที่ต้องการของอุปกรณ์และเครื่องมือวัดที่สำคัญ ได้แก่ ความถูกต้อง เที่ยงตรง ความไวต่อสัญญาณที่ต้องการวัด ความเชื่อถือได้ ขีดความสามารถของเครื่องมือวัด ความเร็วของเครื่องมือวัดที่จะใช้วัดแรงดันโดยเฉพาะอย่างยิ่ง การวัดแรงดันที่เกิดขึ้นในช่วงระยะเวลาสั้นอย่างแรงดันอิมพัลส์ เป็นต้น

1.2 วัตถุประสงค์ของโครงการ

- 1.2.1 เพื่อศึกษาและออกแบบวงจรเครื่องกำเนิดแรงดันอิมพัลส์รูปคลื่นฟ้าผ่า (Lightning Impulse Voltage) และแรงดันอิมพัลส์แบบสวิตช์ชิ่ง (Switching Impulse Voltage)
- 1.2.2 เพื่อศึกษารูปคลื่นของแรงดันอิมพัลส์แบบรูปคลื่นฟ้าผ่า (Lightning Impulse Voltage) และแบบสวิตช์ชิ่ง (Switching Impulse Voltage)
- 1.2.3 เพื่ออาจจะใช้เป็นสื่อการเรียนรู้ในรายวิชาวิศวกรรมไฟฟ้าแรงสูง (High Voltage Engineering)

1.3 ขอบข่ายของโครงการ

- 1.3.1 สร้างวงจรเครื่องกำเนิดแรงดันอิมพัลส์แบบรูปคลื่นฟ้าผ่าและแบบสวิตช์ชิ่ง
- 1.3.2 ทำการวัดค่าแรงดัน รูปคลื่นที่เกิดขึ้น และนำมาวิเคราะห์
- 1.3.3 เปรียบเทียบรูปคลื่นที่ได้จากการทดลองกับผลการจำลองรูปคลื่นเพื่อให้สอดคล้องกับทฤษฎี

1.4 ขั้นตอนของการดำเนินงาน

- 1.4.1 ศึกษาและค้นคว้าข้อมูลเกี่ยวกับวงจรพื้นฐานของเครื่องกำเนิดแรงดันอิมพัลส์รูปคลื่นฟ้าผ่า (Lightning Impulse Voltage) และวงจรเครื่องกำเนิดแรงดันอิมพัลส์แบบสวิตช์ชิ่ง (Switching Impulse Voltage)
- 1.4.2 สร้างวงจรเครื่องกำเนิดแรงดันอิมพัลส์รูปคลื่นฟ้าผ่า (Lightning Impulse Voltage) และวงจรเครื่องกำเนิดแรงดันอิมพัลส์แบบสวิตช์ชิ่ง (Switching Impulse Voltage)
- 1.4.3 ทำการทดสอบแรงดันอิมพัลส์รูปคลื่นฟ้าผ่า (Lightning Impulse Voltage) และแรงดันอิมพัลส์แบบสวิตช์ชิ่ง (Switching Impulse Voltage)
- 1.4.4 สรุปผลการทดลองและจัดทำรายงาน

1.5 แผนการดำเนินงาน

1.6 ผลที่คาดว่าจะได้รับ

1.6.1 สามารถเข้าใจหลักการของวงจรเครื่องกำเนิดแรงดันอิมพัลส์รูปคลื่นฟ้าผ่า (Lightning Impulse Voltage) และแรงดันอิมพัลส์แบบสวิตช์ชิ้ง (Switching Impulse Voltage)

1.6.2 สามารถวิเคราะห์รูปคลื่นของแรงดันอิมพัลส์รูปคลื่นฟ้าผ่า (Lightning Impulse Voltage) และแบบสวิตช์ชิ้ง (Switching Impulse Voltage) ได้

1.6.3 อาจสามารถนำโครงงานนี้ไปใช้เป็นสื่อในการเรียนรู้และการพัฒนาทางวิศวกรรมไฟฟ้าแรงสูง (High Voltage Engineering) ได้

1.7 งบประมาณของโครงงาน

1.7.1 ค่าวัสดุอุปกรณ์	เป็นเงิน 1,000 บาท
1.7.2 ค่าถ่ายเอกสารพร้อมเข้าเดิม	เป็นเงิน 1,000 บาท
1.7.3 ค่าวัสดุอื่น ๆ	เป็นเงิน - บาท
	รวมเป็นเงินทั้งสิ้น 2,000 บาท (สองพันบาทถ้วน)

หมายเหตุ (ถ้าเกลี่ยทุกรายการ)



บทที่ 2

ทฤษฎีพื้นฐานที่นำมาใช้

แรงดันอิมพัลส์เป็นแรงดันที่มีรูปคลื่นเดียบแบบมาจากแรงดันที่เกิดจากเหตุภายนอก คือ เกี่ยวข้องกับฟ้าฟ้า เรียกว่าแรงดันอิมพัลส์รูปคลื่นฟ้าฟ้า และแรงดันที่เกิดขึ้นจากสาเหตุภายในระบบ ส่งจ่ายเอง คือ เกิดจากการทำงานของสวิตช์หรือเซอร์กิตเบรกเกอร์เมื่อมีความผิดพร่องเกิดขึ้นในระบบ เรียกว่าแรงดันอิมพัลส์แบบสวิตช์ซิ่ง ความมุ่งหมายของการสร้างแรงดันอิมพัลส์ขึ้นในห้องทดลองก็เพื่อที่จะนำไปทดสอบอุปกรณ์ต่างๆ ก่อนที่จะนำไปใช้งานเพื่อถูว่าหน่อแรงดันเกินเหล่านี้ได้ไหม ความคงทนต่อแรงดันหรือความเครียดสนามไฟฟ้าอิมพัลส์ของคนวนมิใช่ขึ้นอยู่กับขนาดแรงดันสูงสุดเท่านั้น หากแต่ยังขึ้นอยู่กับการแปรของแรงดันไปตามเวลาอีกด้วย ฉะนั้นเพื่อสะดวกต่อการเปรียบเทียบผลการทดสอบ จึงมีการนำรูปคลื่นอิมพัลส์ให้เป็นมาตรฐานขึ้นโดยยึดถือเอารูปคลื่นที่เกิดขึ้นจริงตามธรรมชาติเป็นเกณฑ์

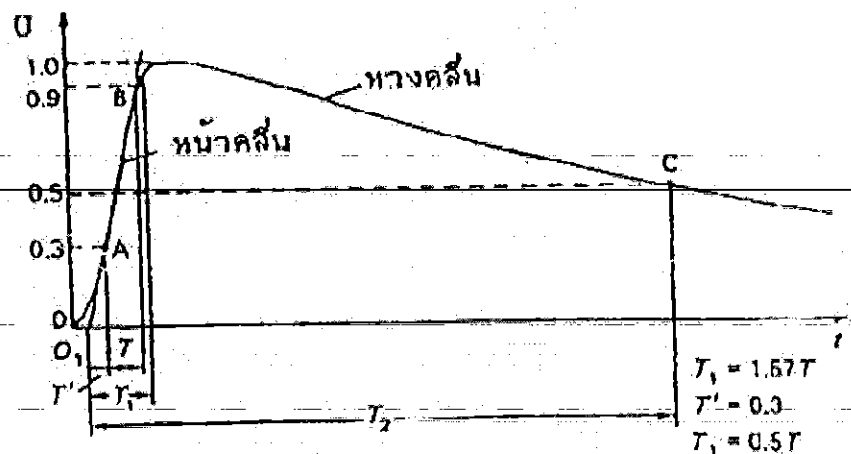
รูปลักษณะของคลื่นอิมพัลส์จากกำหนดค่าวัย

- ขนาดแรงดัน
- ขั้วแรงของแรงดันอาจจะเป็นบวกหรือเป็นลบก็ได้เมื่อเทียบกับศูนย์
- เวลาช่วงคลื่น T_1 หมายถึงช่วงเวลาที่แรงดันเริ่มเพิ่มขึ้นจากศูนย์จนถึงค่ายอด
- เวลาช่วงหางคลื่น T_2 หมายถึงช่วงเวลาตั้งแต่แรงดันเริ่มเพิ่มขึ้นจากศูนย์ผ่านค่ายอดจนกระทั่งขนาดลดลงเหลือครึ่งหนึ่งของค่ายอด

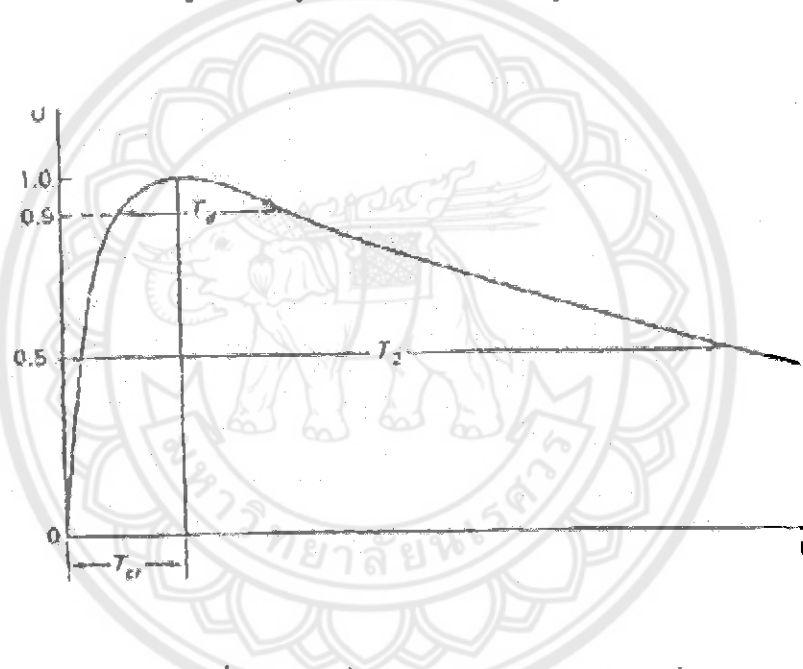
ถ้าต้องการทราบว่าแรงดันอิมพัลส์ที่สร้างขึ้นนั้นเป็นไปตามมาตรฐานกำหนดหรือไม่ ให้หาค่า T_1 , T_2 หรือ T_c โดยวิธีที่แสดงไว้ในรูปที่ 2.1 ว่าอยู่ในเกณฑ์ที่กำหนดต่อไปนี้หรือไม่ คือ

$$\text{เวลาช่วงหัวคลื่น } T_1 = 1.2 \mu\text{Sec} \pm 30\%$$

$$\text{เวลาช่วงหางคลื่น } T_2 = 50 \mu\text{Sec} \pm 20\%$$



รูปที่ 2.1 รูปคลื่นแรงดันอิมพัลส์รูปคลื่นไฟฟ้า



รูปที่ 2.2 รูปคลื่นแรงดันอิมพัลส์แบบสวิตช์ชี้ง

ในรูปที่ 2.2 แสดงถึงรูปคลื่นแรงดันอิมพัลส์แบบสวิตช์ชิ้ง ซึ่งแตกต่างไปจากแรงดันอิมพัลส์รูปคลื่นฟ้าผ่าก็คือ ช่วงหน้าคลื่นจะยาวกว่า ความหมายของเวลาช่วงหางคลื่น T_2 จะมีนิยาม
เหมือนแรงดันอิมพัลส์รูปคลื่นฟ้าผ่า ส่วนเวลาของช่วงหน้าคลื่นจะกำหนดเป็น T_{cr} ซึ่งหมายถึง
ช่วงเวลาที่นับจากจุดที่แรงดันเริ่มจากศูนย์จริงไปจนถึงเวลาที่แรงดันเพิ่มขึ้นถึงค่ายอด รูปคลื่น
แรงดันอิมพัลส์แบบสวิตช์ชิ้ง โดยทั่วไปจะมีรูปคลื่น $250/2500 \mu\text{Sec}$ และกำหนดให้มีความ
คลาดเคลื่อนได้อยู่ในเกณฑ์ดังนี้

$$T_{cr} = 250 \text{ } \mu\text{sec} \pm 20\%$$

$$T_2 = 2500 \text{ } \mu\text{sec} \pm 60\%$$

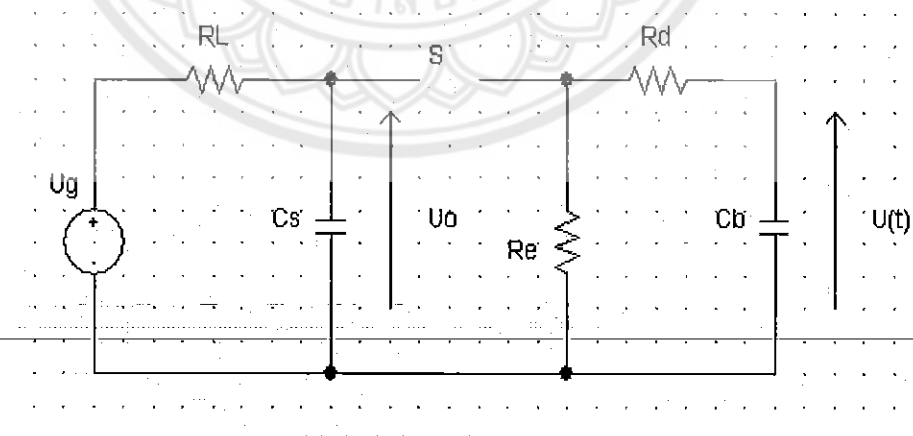
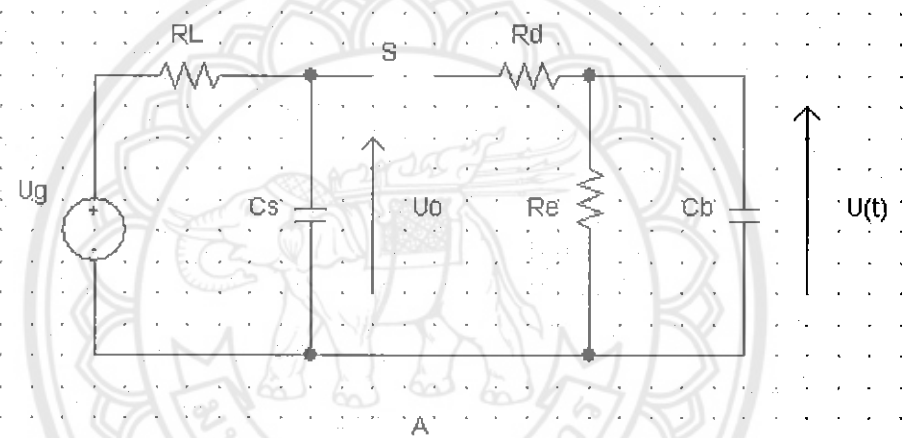
2.1 เครื่องกำเนิดแรงดันอิมพัลส์

แรงดันอิมพัลส์อาจสร้างขึ้นโดยอาศัยวงจรท่านเขี้ยน RC หรือวงจรท่านเขี้ยน RLC โดยทั่วไปแรงดันอิมพัลส์รูปคลื่นฟ้าผ่าที่สร้างขึ้นใช้กันมากมักได้จากการ RC โดยอาศัยหลักการขัดประจุให้กับตัวเก็บประจุถึงค่าแรงดันที่ต้องการ ($U = \frac{Q}{C}$) และปล่อยให้คาบประจุหรือดีซชาร์จผ่านวงจร RC ที่สามารถปรับค่าคงตัวเวลาให้ได้รูปคลื่นตามต้องการได้

2.2 วงจรพื้นฐานของเครื่องกำเนิดแรงดันอิมพัลส์

วงจรพื้นฐานที่ใช้สร้างแรงดันอิมพัลส์รูปคลื่นฟ้าผ่าน 2 แบบดังแสดงในรูปที่ 2.3 (A) และ

B)



รูปที่ 2.3 วงจรพื้นฐานของเครื่องกำเนิดแรงดันอิมพัลส์

ความหมายในรูปวงจร A และ B

U_g	=	แรงดันกระแสตรงของตัวจ่าย
U_o	=	แรงดันอัคประจุกระแสตรง
C_s	=	ตัวเก็บประจุอิมพัลส์เป็นตัวเก็บพลังงาน
C_b	=	โหลดตัวเก็บประจุ (รวมทั้งความจุไฟฟ้าของอุปกรณ์เครื่องวัดและอื่น ๆ)
R_L	=	ความต้านทานจำกัดกระแสอัคประจุ
R_d	=	ความต้านทานหน่วง
R_e	=	ความต้านทานปล่อยประจุ
$U_{(0)}$	=	แรงดันอิมพัลส์ที่ได้แปรไปตามเวลา
S	=	สปาร์คแแกป

หน้าที่ของส่วนประกอบในวงจร คือ แรงดันกระแสตรง U_g เป็นตัวป้อนแรงดันประจุให้กับตัวเก็บประจุอิมพัลส์ จนกระทั่งได้แรงดันที่ต้องการ U_o การอัคประจุนี้จะผ่านความต้านทาน R_L ค่าแรงดันอัคประจุได้ U_o นี้ขึ้นอยู่กับระยะห่างของสปาร์คแแกป S ที่ปรับได้ เพื่อให้สามารถสร้างแรงดันอิมพัลส์ได้มากน้อยตามต้องการ

ตัวนี้เป็นประสิทธิภาพของเครื่องกำเนิดแรงดันอิมพัลส์ นั่นคือ

$$\text{ประสิทธิภาพของวงจร } \eta = \frac{\hat{U}}{U_o} \leq \frac{C_s}{C_s + C_b}$$

พลังงานของเครื่องกำเนิดขึ้นอยู่กับค่าความจุไฟฟ้า C_s และแรงดันอัคประจุ U_o ซึ่งคำนวณได้จากสมการ

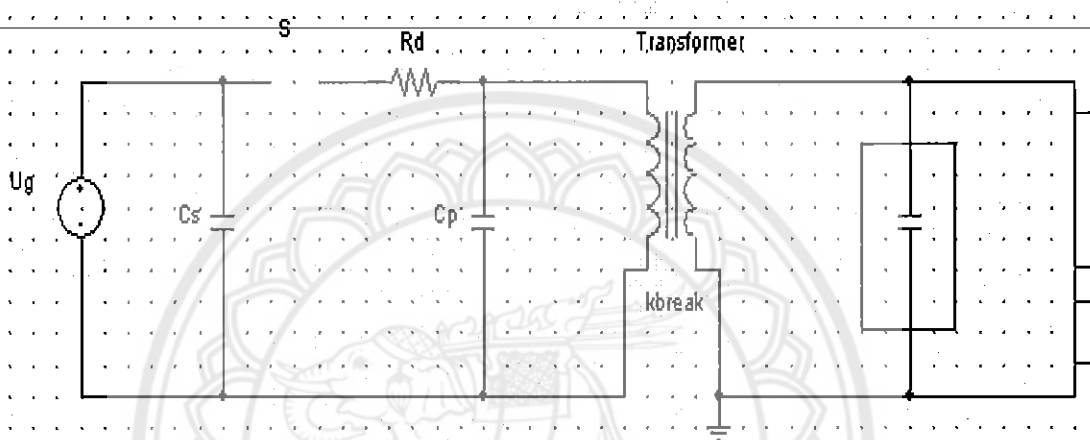
$$\begin{aligned} W &= \frac{1}{2} C_s U_o^2 \\ &= \frac{1}{2} C_s U_o^2 \times 10^{-9} \quad \text{KJ} \end{aligned}$$

เมื่อ W คือ พลังงานอัคประจุเป็น KJ

C_s คือ ความจุไฟฟ้าของตัวเก็บประจุเป็น pF

2.3 การสร้างแรงดันอิมพัลส์สวิตชิ่ง

การสร้างแรงดันอิมพัลส์สวิตชิ่งโดยทั่วไปจะใช้วงจรเครื่องกำเนิดแรงดันอิมพัลส์รูปคลื่นฟ้าผ่า ดังที่กล่าวมาแล้ว เพียงแต่ปรับค่าของค่าประกอบวงจร R_d, R_e ให้ได้รูปคลื่นตามที่กำหนด แรงดันอิมพัลส์สวิตชิ่งอาจสร้างตัวบวกหรือตัวลบขึ้น ตัวอย่างเช่น ได้จากการป้อนแรงดันอิมพัลส์ให้กับหม้อแปลงทดสอบด้านแรงดัน จะได้แรงดันอิมพัลส์สวิตชิ่งออกทางด้านแรงดันแรงสูงของหม้อแปลงทดสอบดังวงจรในรูปที่ 2.4



รูปที่ 2.4 วงจรสร้างแรงดันอิมพัลส์สวิตชิ่งด้วยหม้อแปลงทดสอบ

ในรูปวงจรเมื่อตัวเก็บประจุ C_s ได้รับแรงดันอัดประจุกระแสตรงตามที่ต้องการแล้วก็จะปล่อยประจุผ่าน R_d, C_p และขดลวดแรงดันของหม้อแปลงทดสอบ ซึ่งเป็นองค์ประกอบของวงจร รูปคลื่นส่วนทางคลื่นจะควบคุมด้วยความต้านทานของโอลเตชดิเวเตอร์ และค่าความเห็นใจว่า สมมุติ L_s ของหม้อแปลง ซึ่งประกอบเป็นวงจรรีไซแนนซ์แบบอนุกรมกับ C_s และค่าความจุไฟฟ้าของโอลเดค C_b เวลาช่วงหน้าคลื่นของแรงดันอิมพัลส์สวิตชิ่งอาจคำนวณได้จากสมการ

$$T_{cr} = \pi \sqrt{L_s C}$$

$$\text{เมื่อ } C = \frac{C_s C_b}{C_s + C_b}$$

วงจรแรงดันอิมพัลส์สวิตชิ่งดังกล่าวหมายสำหรับแรงดันที่มีช่วงหน้าคลื่นตั้งแต่ $100 \mu\text{s}$ ขึ้นไป

2.4 การออกแบบวงจรแรงดันอิมพัลส์

ขั้นตอนการออกแบบ มีดังนี้

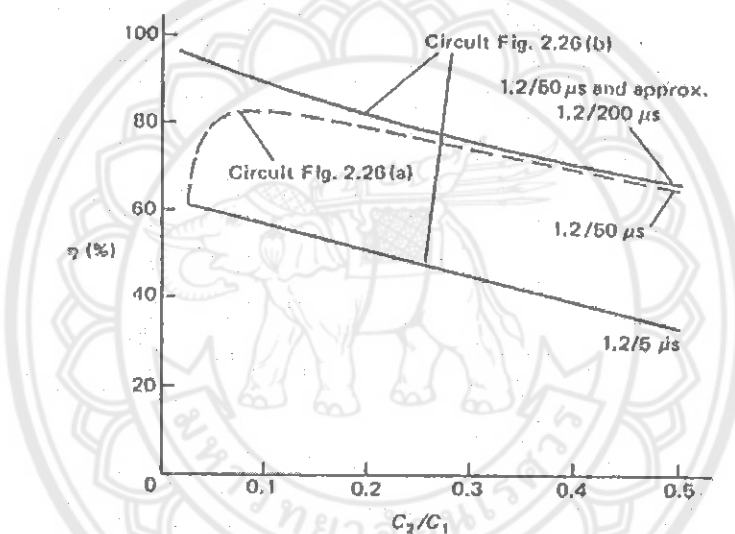
- กำหนดค่า C_b และ กำหนดค่า ประสิทธิภาพจากสมการที่ 2.1

$$\eta = \frac{\hat{U}}{U_o} \quad (2.1)$$

- นำค่าประสิทธิภาพที่ได้ไปหาค่า C_b/C_s จากกราฟรูปที่ 2.5

- เมื่อได้ค่า C_b/C_s จากนั้นเปรียบเทียบหาค่า C_s (ซึ่งค่า $C_s >> C_b$)

- ค่า T_1/T_2 ($1.2/50\mu\text{s}$ หรือ $250/2500\mu\text{s}$) เพื่อเปิดตารางที่ 2.1 หาค่า $1/\alpha_1$, $1/\alpha_2$



รูปที่ 2.5 กราฟความสัมพันธ์ของสัมประสิทธิ์และอัตราส่วนของตัวเก็บประจุ

ตารางที่ 2.1 ความสัมพันธ์ของค่า T_1/T_2 กับค่า $1/\alpha_1$, $1/\alpha_2$

T_1/T_2	K_1	K_2	$1/\alpha_1 (\mu\text{s})$	$1/\alpha_2 (\mu\text{s})$
1.2/5	1.44	1.49	3.47	0.805
1.2/50	0.73	2.96	68.5	0.405
1.2/200	0.70	3.15	286	0.381
250/2500	0.87	2.41	2875	104

5. นำค่า $C_b, C_s, \alpha_1, \alpha_2$ แทนค่าในสมการที่ 2.2 และ 2.3 เพื่อหาค่า R_e, R_d

$$R_e = \frac{1}{2(C_b + C_s)} \left[\left(\frac{1}{\alpha_1} + \frac{1}{\alpha_2} \right) + \sqrt{\left(\left(\frac{1}{\alpha_1} + \frac{1}{\alpha_2} \right)^2 - \frac{4(C_b + C_s)}{\alpha_1 \alpha_2 C_b} \right)} \right] \quad (2.2)$$

$$R_d = \frac{1}{2(C_b)} \left[\left(\frac{1}{\alpha_1} + \frac{1}{\alpha_2} \right) - \sqrt{\left(\left(\frac{1}{\alpha_1} + \frac{1}{\alpha_2} \right)^2 - \frac{4(C_b + C_s)}{\alpha_1 \alpha_2 C_s} \right)} \right] \quad (2.3)$$



บทที่ 3

วิธีการดำเนินการ

3.1 การคำนวณหาค่าพารามิเตอร์ต่างๆ ตามทฤษฎี

จากการที่ได้ศึกษาทฤษฎีและหลักการที่นำมาใช้กับโครงงานนี้ จากบทที่ผ่านมาสามารถนำมาสร้างเป็นโครงงานที่สามารถใช้งานได้จริง

โดยโครงงานนี้เป็นการศึกษาและออกแบบเครื่องกำเนิดแรงดันอิมพัลส์โดยแบ่งการค้นคว้าออกเป็น 3 ส่วน คือ ส่วนแรก เป็นการศึกษาและออกแบบสร้างวงจรเครื่องกำเนิดแรงดันอิมพัลส์ ทั้งแบบคลื่นฟ้าผ่า และแบบสวิชชิ่ง และการหาค่าพารามิเตอร์ต่างๆ ในวงจร ในส่วนที่สองของ การค้นคว้า คือการจำลองรูปคลื่นของวงจรเครื่องกำเนิดแรงดันอิมพัลส์โดยใช้โปรแกรม Pspice และการสร้างและติดตั้งอุปกรณ์ตัวจริงเครื่องกำเนิดแรงดันอิมพัลส์ขึ้น และในส่วนสุดท้าย คือ แสดงการเปรียบเทียบการจำลองผลรูปคลื่นเปรียบเทียบกับผลการทดลองจริง โดยแสดงผลรูปคลื่นที่เกิดขึ้นจากการทดลองจริงและการจำลองจากโปรแกรม ตลอดจนกับรูปคลื่นตามทฤษฎี

เมื่อได้ทำการศึกษาค้นคว้าตามทฤษฎีในส่วนของโครงงานนี้สามารถแบ่งออกได้เป็น

2 ส่วน คือ

3.1.1 การออกแบบวงจรเครื่องกำเนิดแรงดันอิมพัลส์รูปคลื่นฟ้าผ่า ขั้นตอนการออกแบบ

กำหนดค่า $C_b = 0.2 \mu F$ และเลือกค่า $\theta = 0.7$

เมื่อนำไปเทียบกับกราฟรูปที่ 2.5 จะได้ค่า $C_b/C_s = 0.4$

$$\text{ดังนั้น } C_s = \frac{C_b}{0.4} = \frac{0.2\mu}{0.4} = 0.5\mu F$$

จากตารางที่ 2.1 รูปคลื่นฟ้าผ่า ($1.2/50 \mu S$) จะได้ค่า $\frac{1}{\alpha_1}$ และ $\frac{1}{\alpha_2}$ ดังนี้

$$\frac{1}{\alpha_1} = 68.5 , \therefore \alpha_1 = \frac{1}{68.5} = 0.0146Ms$$

$$\frac{1}{\alpha_2} = 0.405 , \therefore \alpha_2 = \frac{1}{0.405} = 2.4691Ms$$

แทนค่าลงในสมการที่ 2.2 และ 2.3 เพื่อหาค่า R_e และ R_d

หาค่า R_e

$$R_e = \frac{1}{2(C_b + C_s)} \left[\left(\frac{1}{\alpha_1} + \frac{1}{\alpha_2} \right) + \sqrt{\left(\left(\frac{1}{\alpha_1} + \frac{1}{\alpha_2} \right)^2 - \frac{4(C_b + C_s)}{\alpha_1 \alpha_2 C_b} \right)} \right]$$

$$\begin{aligned} &= \frac{1}{2(0.2\mu + 0.5\mu)} \left((68.905\mu) + \sqrt{(68.905\mu)^2 - \frac{4(0.2\mu + 0.5\mu)}{(0.0146M)(2.469IM)(0.2\mu)}} \right) \\ &= \frac{1}{1.4\mu} (68.905\mu + \mu \sqrt{4747.90 - 388.36}) \\ &= \frac{1}{1.4\mu} (68.905\mu + 66.027\mu) \\ &= 96.3770\Omega \end{aligned}$$

หาค่า R_d

$$\begin{aligned} R_d &= \frac{1}{2(C_b)} \left[\left(\frac{1}{\alpha_1} + \frac{1}{\alpha_2} \right) - \sqrt{\left(\left(\frac{1}{\alpha_1} + \frac{1}{\alpha_2} \right)^2 - \frac{4(C_b + C_s)}{\alpha_1 \alpha_2 C_s} \right)} \right] \\ &= \frac{1}{2(0.2\mu)} \left((68.905\mu) - \sqrt{(68.905\mu)^2 - \frac{4(0.2\mu + 0.5\mu)}{(0.0146M)(2.469IM)(0.5\mu)}} \right) \\ &= \frac{1}{0.4\mu} (68.905\mu - \mu \sqrt{4747.90 - 155.34}) \\ &= \frac{1}{0.4\mu} (68.905\mu - 67.768\mu) \\ &= 2.8454\Omega \end{aligned}$$

3.1.2 การออกแบบวงจรเครื่องกำเนิดแรงดันอิมพัลส์แบบสวิตชิ่ง ขั้นตอนการออกแบบ

กำหนดค่า $C_b = 2 \mu F$ และเลือกค่า $\eta = 0.70$

เมื่อนำไปเทียบกับกราฟรูปที่ 2.5 จะได้ค่า $C_b/C_s = 0.4$

$$\text{ดังนั้น } C_s = \frac{C_b}{0.4} = \frac{2\mu}{0.4} = 5\mu F$$

จากตารางที่ 2.1 รูปคลื่นแบบสวิตชิ่ง ($250/2500 \mu S$) จะได้ค่า $\frac{1}{\alpha_1}$ และ $\frac{1}{\alpha_2}$ ดังนี้

$$\frac{1}{\alpha_1} = 2875 , \therefore \alpha_1 = \frac{1}{2875} = 347.8260 s$$

$$\frac{1}{\alpha_2} = 104 , \therefore \alpha_2 = \frac{1}{104} = 9.6154 Ks$$

แทนค่าลงในสมการที่ 2.2 และ 2.3 เพื่อหาค่า R_e และ R_d

หาค่า R_e

$$\begin{aligned} R_e &= \frac{1}{2(C_b + C_s)} \left[\left(\frac{1}{\alpha_1} + \frac{1}{\alpha_2} \right) + \sqrt{\left(\frac{1}{\alpha_1} + \frac{1}{\alpha_2} \right)^2 - \frac{4(C_b + C_s)}{\alpha_1 \alpha_2 C_b}} \right] \\ &= \frac{1}{2(2\mu + 5\mu)} \left((2979\mu) + \sqrt{(2979\mu)^2 - \frac{4(2875\mu)(104\mu)(2\mu + 5\mu)}{(2\mu)}} \right) \\ &= \frac{1}{14\mu} (2979\mu + \mu \sqrt{(8874441 - 4185994.349)}) \\ &= \frac{1}{14\mu} (2979\mu + 2165.2821\mu) \\ &= 367.4486\Omega \end{aligned}$$

หาค่า R_d

$$R_d = \frac{1}{2(C_b)} \left[\left(\frac{1}{\alpha_1} + \frac{1}{\alpha_2} \right) - \sqrt{\left(\left(\frac{1}{\alpha_1} + \frac{1}{\alpha_2} \right)^2 - \frac{4(C_b + C_s)}{\alpha_1 \alpha_2 C_s} \right)} \right]$$

$$\begin{aligned} &= \frac{1}{2(2\mu)} \left((2979\mu) - \sqrt{(2979\mu)^2 - \frac{4(2875\mu)(104\mu)(2\mu + 5\mu)}{(5\mu)}} \right) \\ &= \frac{1}{4\mu} (2979\mu - \mu \sqrt{(8874441 - 1674400)}) \\ &= \frac{1}{4\mu} (2979\mu - 2683.2892\mu) \end{aligned}$$

$$= 73.9277\Omega$$

3.2 การสร้างตัววงจรเครื่องกำเนิดแรงดันอิมพัลส์

การสร้างตัววงจรเครื่องกำเนิดแรงดันอิมพัลส์ในโครงงานนี้จะมุ่งไปที่การใช้ค่าตัวเก็บประจุ และค่าความต้านทานที่คำนวณได้ให้สอดคล้องกับอุปกรณ์ที่มีจำหน่ายตามห้องทดลอง ดังนั้น เราจึงต้องทำการเลือกค่าตัวเก็บประจุและค่าความต้านทานให้เหมาะสม มาสร้างตัววงจรเครื่องกำเนิดแรงดันอิมพัลส์

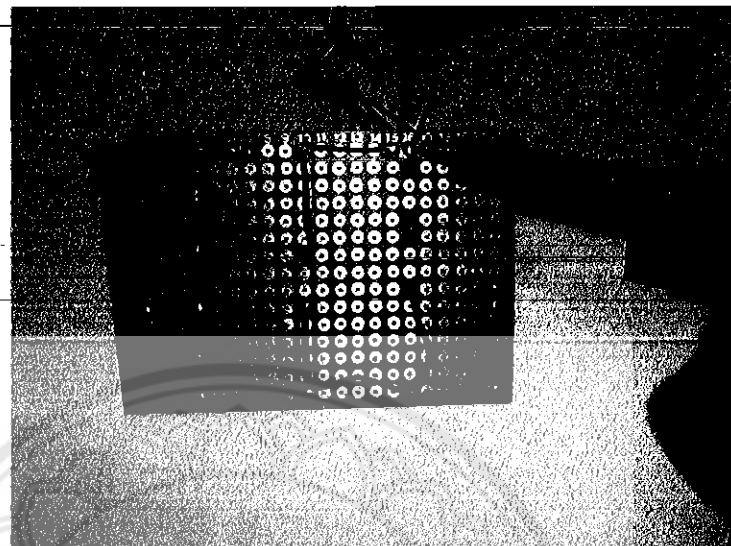
ขั้นตอนการสร้างตัววงจรเครื่องกำเนิดแรงดันอิมพัลส์รูปด้านล่าง

1. ศึกษารายละเอียดของวงจรและเตรียมอุปกรณ์ที่จะนำมาสร้างวงจร ได้แก่ ตัวเก็บประจุ, ตัวต้านทาน, ฟิวส์, สวิตช์ 3 ทาง, และแผ่นบริน์สำเร็จรูป ตามรูปที่ 3.1 เพื่อทราบถึงการทำงานของวงจรและทราบถึงอุปกรณ์ที่จะใช้ในวงจรที่จะสร้าง



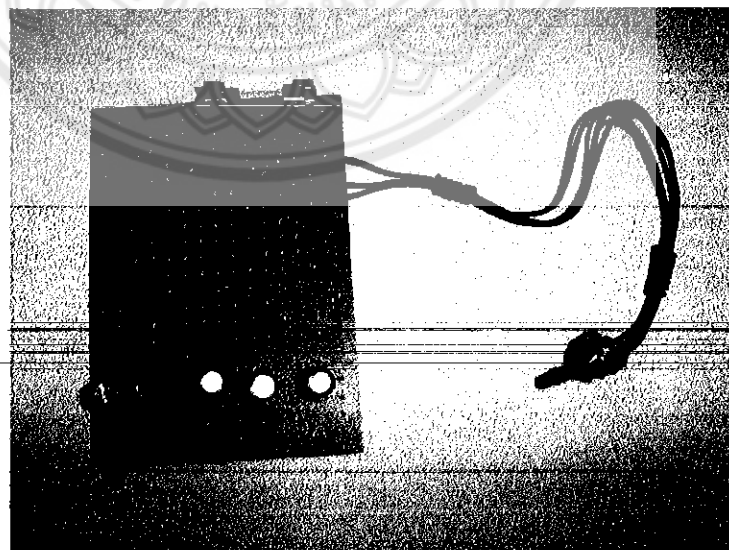
รูปที่ 3.1 อุปกรณ์ที่ใช้ในวงจร

2. ทำการวางแผนอุปกรณ์ต่างๆ เช่น ตัวเก็บประจุ, ตัวด้านหน้า, ไฟสี และสวิตช์ 3 ทาง ลงบนแผ่นปรินต์สำเร็จรูป แล้วบัดกรีค้ายตะกั่ว ดังรูปที่ 3.2



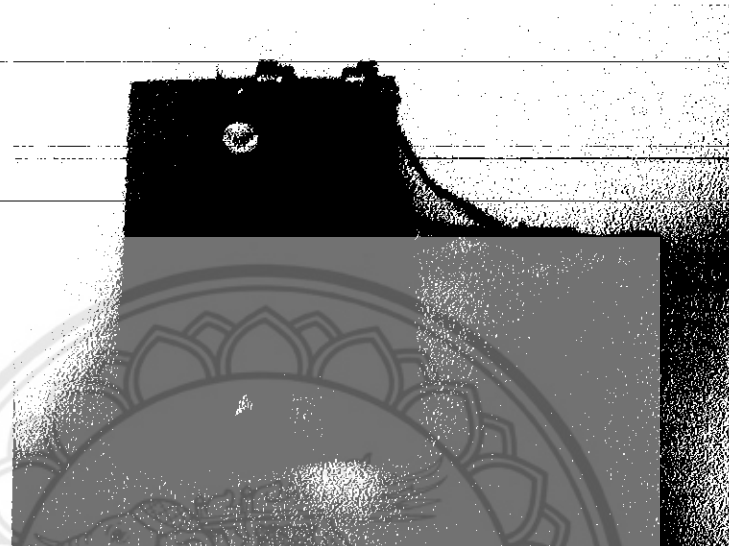
รูปที่ 3.2 การวางแผนอุปกรณ์และการบัดกรีอุปกรณ์ลงในแผ่นปรินต์

3. ตรวจสอบวงจรเพื่อความถูกต้องและความปลอดภัยต่ออุปกรณ์ในเรื่องของการลัดวงจรเมื่อเสร็จแล้วจะได้ตัววงจรดังรูปที่ 3.3



รูปที่ 3.3 ตัววงจรเครื่องกำเนิดแรงดันอิมพัลส์รูปคลื่นฟ้าผ่าที่สร้างเสร็จแล้ว

ส่วนขึ้นตอนของการสร้างตัววงจรเครื่องกำเนิดแรงดันอิมพัลส์รูปคลื่นแบบสวิตช์ซึ่งนั้นก็ทำเช่นเดียวกับขั้นตอนที่ 1, 2 และ 3 แต่เปลี่ยนค่าของตัวเก็บประจุและตัวต้านทานตามค่าที่ได้จาก การคำนวณ เมื่อเสร็จแล้วจะได้ตัววงจรถักยกจะเช่นเดียวกับตัววงจรเครื่องกำเนิดแรงดันอิมพัลส์ รูปคลื่นไฟฟ้าผ่า ดังรูปที่ 3.4



รูปที่ 3.4 ตัววงจรเครื่องกำเนิดแรงดันอิมพัลส์รูปคลื่นแบบสวิตช์ซึ่งที่สร้างเสร็จแล้ว

3.3 การนำวงจรเครื่องกำเนิดแรงดันอิมพัลส์ที่สร้างขึ้นไปทดสอบ

หลังจากที่ทำการสร้างวงจรเครื่องกำเนิดแรงดันอิมพัลส์ทึ้งสองแบบตามขั้นตอน และทฤษฎีแล้ว จากนั้นทำการทดสอบวงจรเครื่องกำเนิดแรงดันอิมพัลส์โดยการต่อแหล่งจ่ายและสโคลป เข้ากับวงจร เมื่อจ่ายไฟจากแหล่งจ่ายไฟกระแสตรง 220 โวลท์ ให้กับวงจร จากนั้นสับสวิตช์เพื่อให้แหล่งจ่ายขาร์จประจุให้กับ C_s และสับสวิตช์เพื่อตัดแหล่งจ่ายพร้อมๆ กับที่ แรงดันตกคร่อมจาก C_s ชาร์จประจุให้กับ C_b โดยผ่านความต้านทาน R_d จนกระทั่งแรงดันตกคร่อมจาก C_s หมดไป แรงดันตกคร่อม C_b จะคายประจุผ่านตัวต้านทาน R_e เกิดเป็นรูปคลื่นแรงดันอิมพัลส์ ปรากฏบนหน้าจอของสโคปดังรูป 3.5



รูปที่ 3.5 ขั้นตอนการสับสวิตช์เพื่อขับรูปคลื่นนำไปวิเคราะห์

เนื่องจากขั้นตอนในการชาร์จประจุและคายประจุ เกิดขึ้นอย่างรวดเร็ว ทำให้รูปคลื่นแรงดันอิมพัลส์ปรากฏบนหน้าจอสีโคปอ์อย่างรวดเร็วเช่นกัน ดังนั้นการจับรูปคลื่นต้องกดปุ่มที่เป็นตัวจับรูปคลื่น (Start/stop) ให้พร้อมกับการสับสวิตช์

หลังจากที่ได้รูปคลื่นแรงดันอิมพัลส์แล้วก็นำไปขยายดูช่วงหน้าคลื่นและหลังคลื่นดังรูป 3.6 และ 3.7 เพื่อวิเคราะห์ผลต่อไป



รูปที่ 3.6 การขยายรูปคลื่นเพื่อดูช่วงเวลาหน้าคลื่น



รูปที่ 3.7 การขยายรูปคลื่นเพื่อคุ้นช่วงเวลาหลังคลื่น



บทที่ 4

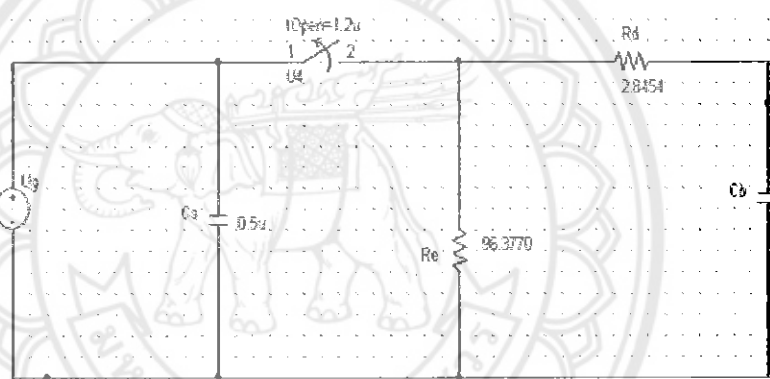
ผลการวิเคราะห์รูปคลื่นแรงดันอินพลัส

4.1 การจำลองผลของวงจรเครื่องกำเนิดแรงดันอินพลัสโดยโปรแกรม PSpice

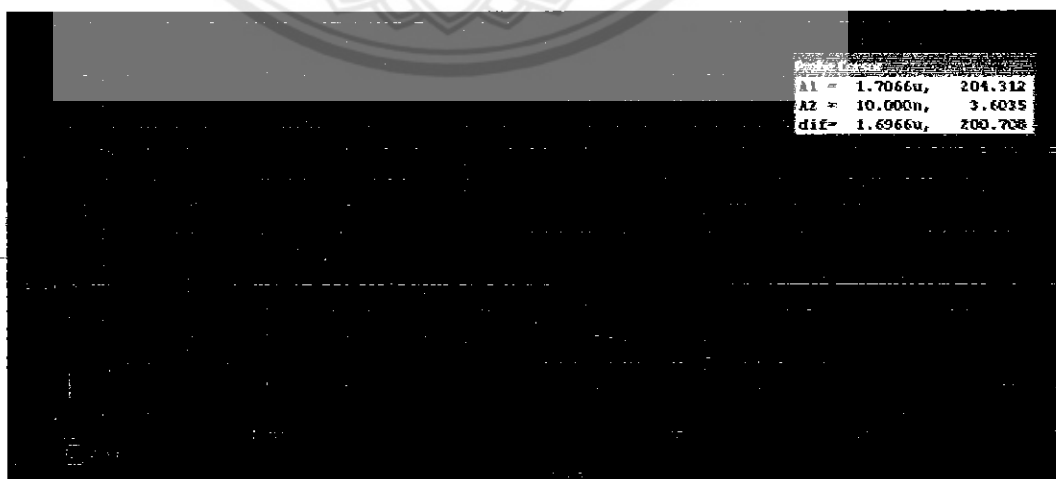
สิ่งที่จำเป็นต้องมีสำหรับการทดลอง คือ รูปคลื่นของวงจรที่ได้ออกมา ต้องเป็นไปตามทฤษฎีที่ได้กล่าวไว้ จึงทำการทดสอบค่าพารามิเตอร์ที่คำนวณได้ลงในโปรแกรม เพื่อเป็นการจำลองรูปคลื่นที่ได้เปรียบเทียบกับรูปคลื่นตามทฤษฎี

4.1.1 การจำลองวงจรเครื่องกำเนิดแรงดันอินพลัสรูปคลื่นฟ้าผ่าและรูปคลื่นที่ได้

ทำการใส่ค่าพารามิเตอร์ตามที่คำนวณได้ตามหัวข้อที่ 3.1.1 ดังรูปที่ 4.1 และเมื่อทำการกด Simulate จะได้รูปคลื่นฟ้าผ่า ดังรูปที่ 4.2



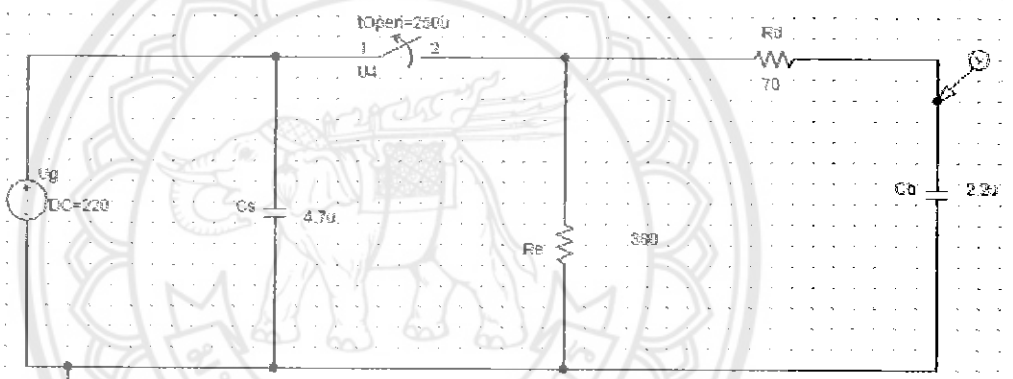
รูปที่ 4.1 วงจรจำลองเครื่องกำเนิดแรงดันอินพลัสรูปคลื่นฟ้าผ่า



รูปที่ 4.2 ผลการจำลองรูปคลื่นฟ้าผ่า

จากการจำลองวงจรเครื่องกำเนิดแรงดันอิมพัลส์ โดยโปรแกรม Pspice ผลที่ได้มีช่วงหน้าคลื่นเท่ากับ $1.7 \mu\text{s}$ และมีช่วงหลังคลื่นเท่ากับ $15.8 \mu\text{s}$ ซึ่งทฤษฎีที่กำหนดไว้ว่ารูปคลื่นของแรงดันอิมพัลส์รูปคลื่นฟ้าผ่า คือมีช่วงหน้าคลื่นเท่ากับ $1.2 \mu\text{s} \pm 30\%$ ซึ่งมีค่าอยู่ในช่วง $0.84-1.56\mu\text{s}$ และมีช่วงหลังคลื่นเท่ากับ $50 \mu\text{s} \pm 20\%$ ซึ่งมีค่าอยู่ในช่วง $40-60 \mu\text{s}$ ดังนั้นผลที่ได้มีช่วงหน้าคลื่นและมีช่วงหลังคลื่นที่ยังไม่เป็นไปตามทฤษฎี ซึ่งเกิดขึ้นแก้โดยการเพิ่มค่าความต้านทานตัวที่ควบคุมตักษณ์ของช่วงหลังคลื่นนั่นก็คือ R_e

4.1.2 การจำลองวงจรเครื่องกำเนิดแรงดันอิมพัลส์แบบสวิตช์ชั่วขณะรูปคลื่นที่ได้ทำการใส่ค่าพารามิเตอร์ตามอุปกรณ์ที่ใช้ในการสร้างวงจร ที่สามารถหาซื้อได้ และมีค่าใกล้เคียงกับการคำนวณตามหัวข้อที่ 3.1.2 มากรีดสุด ดังรูปที่ 4.3 และเมื่อทำการกด Simulate จะได้รูปคลื่นแบบสวิตช์ชั่วขณะรูปที่ 4.4



รูปที่ 4.3 วงจรจำลองเครื่องกำเนิดแรงดันอิมพัลส์แบบสวิตช์ชั่วขณะ



รูปที่ 4.4 ผลการจำลองรูปคลื่นสวิตช์ชั่วขณะ

จากการจำลองวงจรเครื่องกำเนิดแรงดันอิมพัลส์โดยโปรแกรม Pspice ผลที่ได้มีช่วงหน้าคลื่นเท่ากับ $250 \mu\text{s}$ และมีช่วงหลังคลื่นเท่ากับ $780 \mu\text{s}$ ซึ่งทฤษฎีที่กำหนดไว้ว่ารูปคลื่นของแรงดันอิมพัลส์แบบสวิตช์ คือมีช่วงหน้าคลื่นเท่ากับ $250 \mu\text{s} \pm 20\%$ ซึ่งมีค่าอยู่ในช่วง $200-300 \mu\text{s}$ และมีช่วงหลังคลื่นเท่ากับ $2500 \mu\text{s} \pm 60\%$ ซึ่งมีค่าอยู่ในช่วง $1000-4000 \mu\text{s}$ ดังนั้นผลที่ได้นี้มีช่วงหน้าคลื่นที่เป็นไปตามทฤษฎี และมีช่วงหลังคลื่นที่ยังไม่เป็นไปตามทฤษฎี ซึ่งก็ต้องแก้โดยการเพิ่มค่าความต้านทานตัวที่ควบคุมลักษณะของช่วงหลังคลื่นนั้นก็คือ R_e

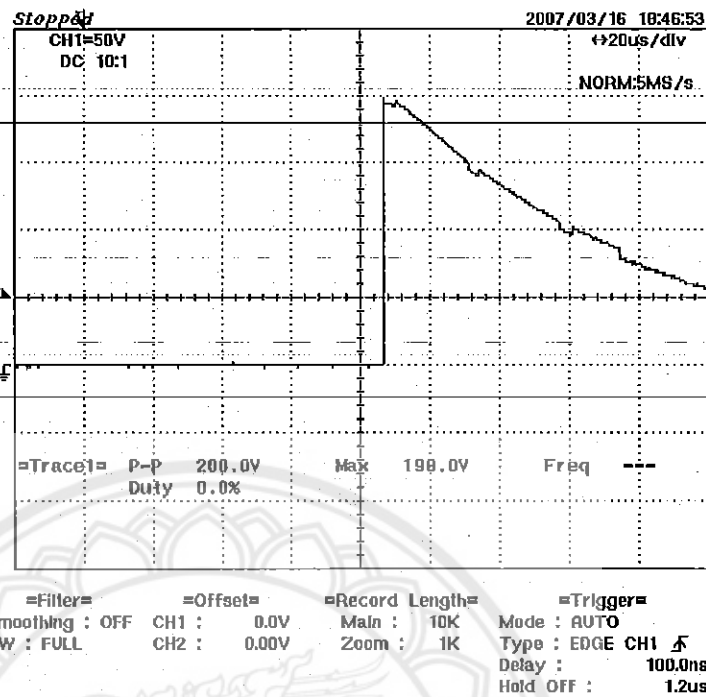
4.2 ผลการวิเคราะห์รูปคลื่นแรงดันอิมพัลส์

หลักการทำงานของโครงการนี้ เป็นการวิเคราะห์หน้าんだแรงดัน และช่วงเวลาส่วนหน้าคลื่นและหลังคลื่นเดียวเปรียบเทียบกับทฤษฎี และผลของการจำลองโดยเมื่อจ่ายไฟ จากแหล่งจ่ายกระแสตรง (DC) ขนาด 220 โวลท์ เพื่อป้อนแรงดันอัคประจุให้กับตัวเก็บประจุอิมพัลส์ (C_s) จนกระทั่งได้แรงดันเท่ากับแหล่งจ่าย ซึ่งช่วงการทำงานในช่วงนี้ สวิตช์จะทำหน้าที่ให้แหล่งจ่ายป้อนแรงดันอัคประจุให้กับตัวเก็บประจุอิมพัลส์ (C_s) จนมีแรงดันเท่ากับแหล่งจ่าย ต่อจากนั้นสวิตช์จะทำหน้าที่ตัดแหล่งจ่ายออกจากวงจร และปล่อยให้แรงดันที่ครองตัวเก็บประจุอิมพัลส์ (C_s) วิ่งไปครองตัวด้านหน้า (R_d) และครองตัวเก็บประจุอิมพัลส์ (C_b) ประจุจะถ่ายทอดไปยังวัสดุทดสอบ ซึ่งก็คือตัวเก็บประจุอิมพัลส์ (C_b) การถ่ายทอดหรือปล่อยประจุนี้ จะเริ่วหรือช้าขึ้นอยู่กับตัวด้านหน้า (R_d) และตัวเก็บประจุอิมพัลส์ (C_b) นับเป็นเวลาช่วงหน้าคลื่น จึงสามารถกล่าวได้ว่าตัวด้านหน้า (R_d) และตัวเก็บประจุอิมพัลส์ (C_b) นี้จะเป็นตัวกำหนดเวลาช่วงหน้าคลื่น และเมื่อถ่ายประจุให้กับตัวเก็บประจุอิมพัลส์ (C_b) จนเต็มที่แล้ว ประจุนี้ก็จะดีสชาร์จหรือปล่อยประจุออกไปสู่ตัวด้านหน้า (R_e) จึงกล่าวได้ว่าตัวด้านหน้า (R_d) ทำหน้าที่ควบคุมเวลาช่วงทางคลื่น ถ้าตัวด้านหน้า (R_e) มีค่าสูงช่วงทางคลื่นก็จะมีค่ามากตามไปด้วย

4.2.1 ผลการวิเคราะห์รูปคลื่นฟ้าผ่า

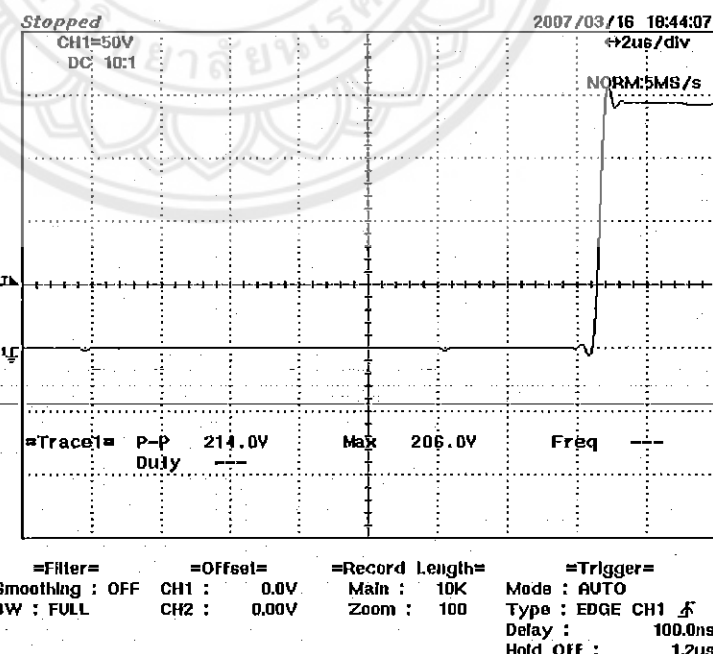
เมื่อวงจรกำเนิดแรงดันอิมพัลส์รูปคลื่นฟ้าผ่าถูกจ่ายไฟกระแสตรง (DC) ขนาด 220 โวลท์ จากแหล่งจ่าย เพื่อป้อนแรงดันอัคประจุให้กับตัวเก็บประจุอิมพัลส์ (C_s) จนกระทั่งได้แรงดันเท่ากับแหล่งจ่าย ทำการสับสวิตช์ เพื่อให้ตัวเก็บประจุอิมพัลส์ (C_s) ทำหน้าที่เป็นแหล่งจ่าย และชาร์จประจุให้กับตัวเก็บประจุอิมพัลส์ (C_b) และทำการวัดแรงดันที่ตอกครองตัวเก็บประจุอิมพัลส์ (C_b) ด้วยอสซิโลสโคป (Oscilloscope) จะได้รูปคลื่นฟ้าผ่าดังรูป

ผลการทดสอบครั้งที่ 1



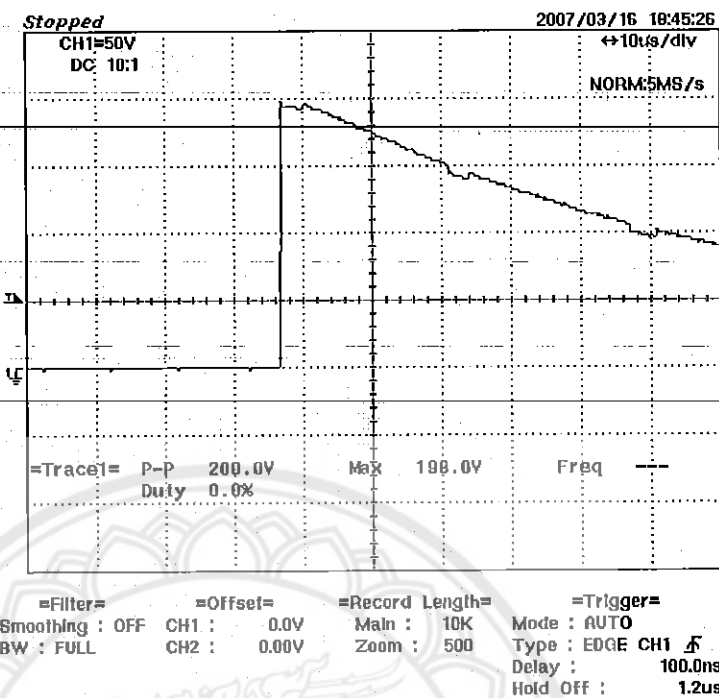
รูปที่ 4.5 รูปคลื่นฟ้าผ่าการทดสอบครั้งที่ 1

จากรูปที่ 4.5 จะเห็นได้ว่าขนาดของแรงดันของรูปคลื่นฟ้าผ่าเท่ากับ 198 โวลท์ ในส่วนของช่วงเวลาหน้าคลื่นจะใช้เวลาเท่ากับ 1.0 μS ดังรูปที่ 4.6



รูปที่ 4.6 ช่วงหน้าคลื่นการทดสอบครั้งที่ 1 แบบขยาย

ส่วนช่วงเวลาหลังคลื่นจะใช้เวลาเท่ากับ $52.5 \mu\text{s}$ ดังรูปที่ 4.7



รูปที่ 4.7 ช่วงหลังคลื่นการทดลองครั้งที่ 1 แบบขยาย

และเมื่อเปรียบเทียบช่วงเวลาหน้าคลื่นและหลังคลื่น ที่ได้จากรูปที่ 4.6 และรูปที่ 4.7 โดยเวลาช่วงหน้าคลื่นอยู่ในช่วงเวลา $1.0 \mu\text{s}$ และเวลาช่วงหลังคลื่นอยู่ในช่วงเวลา $52.5 \mu\text{s}$

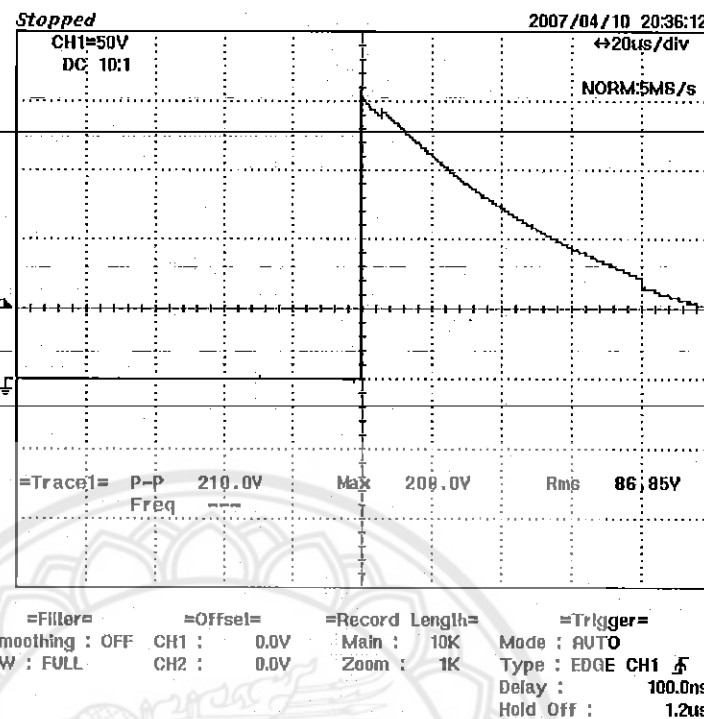
กับมาตรฐานแล้วจะเห็นว่ารูปคลื่นฟ้าผ่าที่ได้จากการทดลองเป็นไปตามทฤษฎี โดยมีเวลาช่วงหน้าคลื่นอยู่ในช่วงเวลา $1.2 \mu\text{s} \pm 30\%$ ซึ่งมีค่าอยู่ในช่วง $0.84-1.56 \mu\text{s}$ และเวลาช่วงหลังคลื่นอยู่ในช่วงเวลา $50 \mu\text{s} \pm 20\%$ ซึ่งมีค่าอยู่ในช่วง $40-60 \mu\text{s}$

ห้องสมุดคณะวิศวกรรมศาสตร์

25

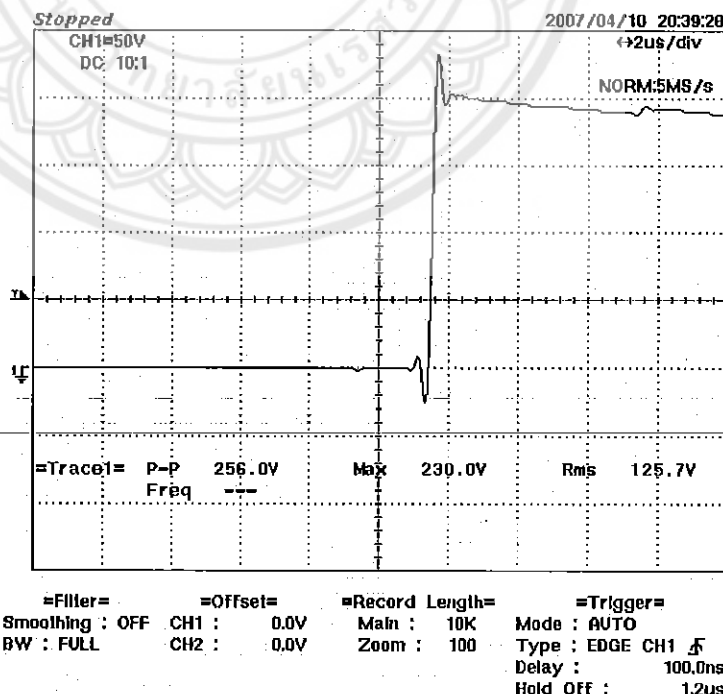
15081221.C.2
5000098

ผลการทดลองครั้งที่ 2



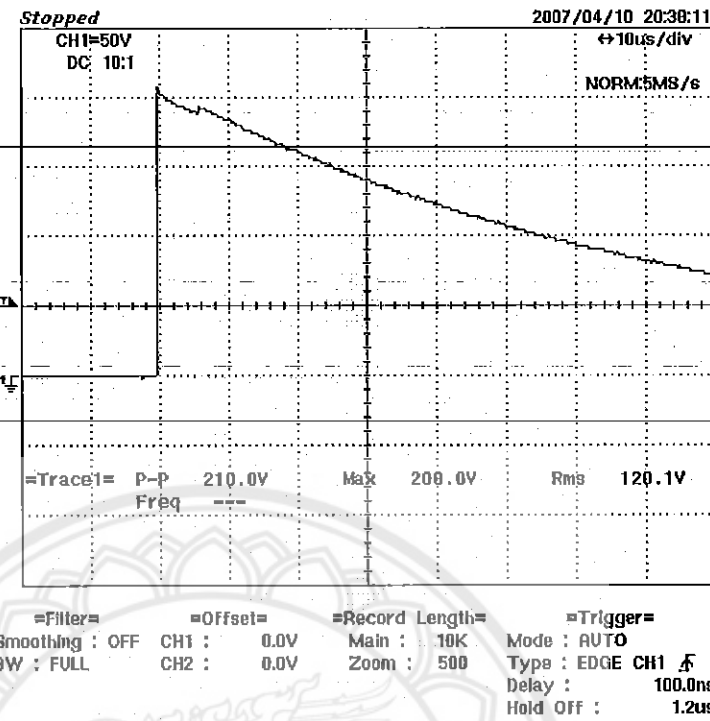
รูปที่ 4.8 รูปคลื่นฟ้าผ่าการทดลองครั้งที่ 2

จากรูปที่ 4.8 จะเห็นได้ว่าขนาดของแรงดันของรูปคลื่นฟ้าผ่าเท่ากับ 208 โวลท์ ในส่วนของช่วงเวลาหน้าคลื่นจะใช้เวลาเท่ากับ 0.95 μ s ดังรูปที่ 4.9



รูปที่ 4.9 ช่วงหน้าคลื่นการทดลองครั้งที่ 2 แบบขยาย

ส่วนช่วงเวลาหลังคลื่นจะใช้เวลาเท่ากับ $52 \mu\text{s}$ ดังรูปที่ 4.10

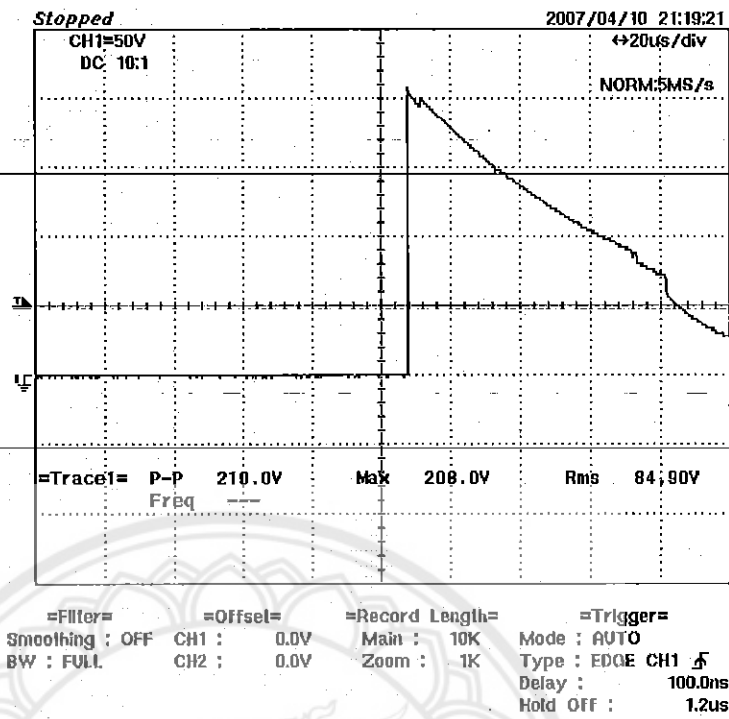


รูปที่ 4.10 ช่วงหลังคลื่นการทดสอบครั้งที่ 2 แบบขยาย

และเมื่อเปรียบเทียบช่วงเวลาหน้าคลื่นและหลังคลื่น ที่ได้จากรูปที่ 4.9 และรูปที่ 4.10 โดยเวลาช่วงหน้าคลื่นอยู่ในช่วงเวลา $0.95 \mu\text{s}$ และเวลาช่วงหลังคลื่นอยู่ในช่วงเวลา $52 \mu\text{s}$

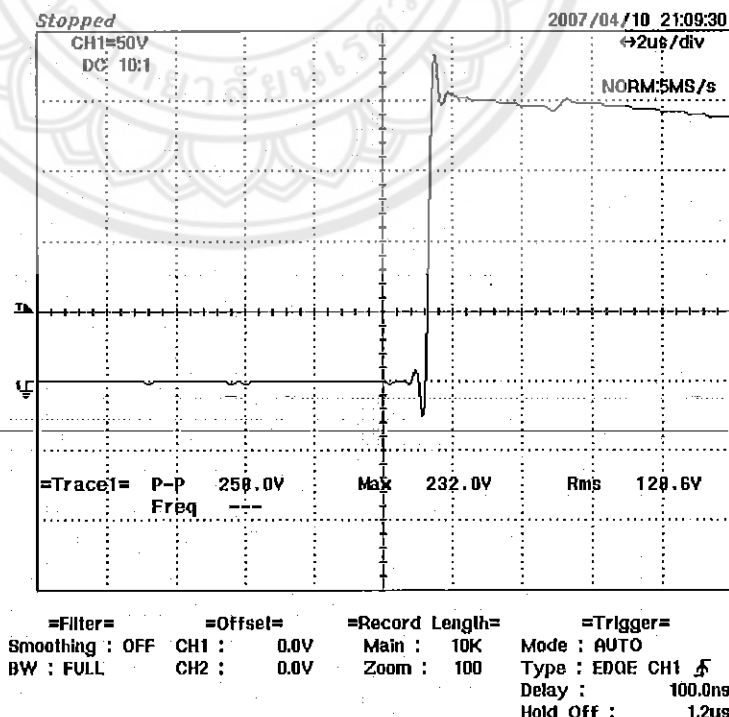
กับทฤษฎีแล้วจะเห็นว่ารูปคลื่นฟ้าผ่าที่ได้จากการทดสอบเป็นไปตามทฤษฎี โดยมีเวลาช่วงหน้าคลื่นอยู่ในช่วงเวลา $1.2 \mu\text{s} \pm 30\%$ ซึ่งมีค่าอยู่ในช่วง $0.84-1.56 \mu\text{s}$ และเวลาช่วงหลังคลื่นอยู่ในช่วงเวลา $50 \mu\text{s} \pm 20\%$ ซึ่งมีค่าอยู่ในช่วง $40-60 \mu\text{s}$

ผลการทดสอบครั้งที่ 3



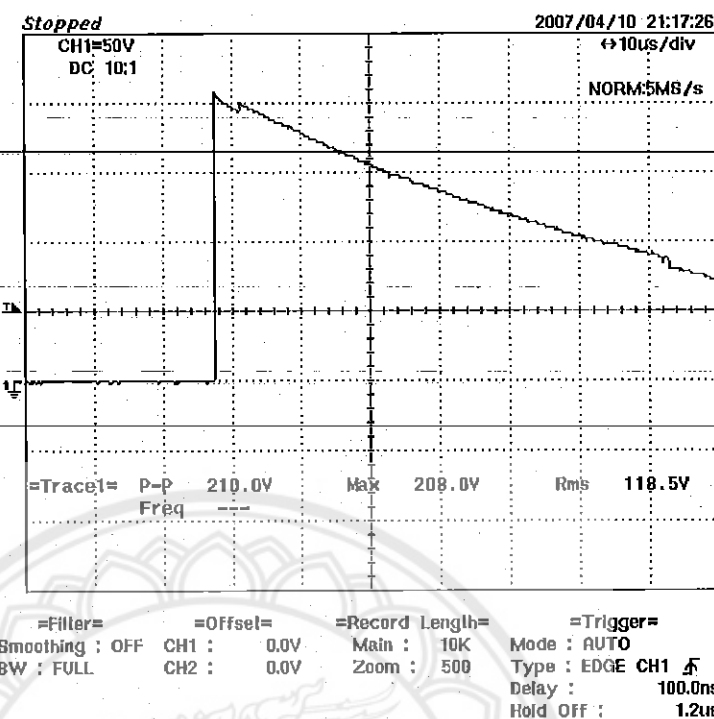
รูปที่ 4.11 รูปคลื่นไฟฟ้าผ่าการทดสอบครั้งที่ 3

จากรูปที่ 4.11 จะเห็นได้ว่าขนาดของแรงดันของรูปคลื่นไฟฟ้าผ่าเท่ากับ 208 โวลท์ ในส่วนของช่วงเวลาหน้าคลื่นจะใช้เวลาเท่ากับ $0.9 \mu\text{s}$ ดังรูปที่ 4.12



รูปที่ 4.12 ช่วงหน้าคลื่นการทดสอบครั้งที่ 3 แบบขยาย

ส่วนช่วงเวลาหลังคลื่นจะใช้เวลาเท่ากับ $52.7 \mu\text{s}$ ดังรูปที่ 4.13

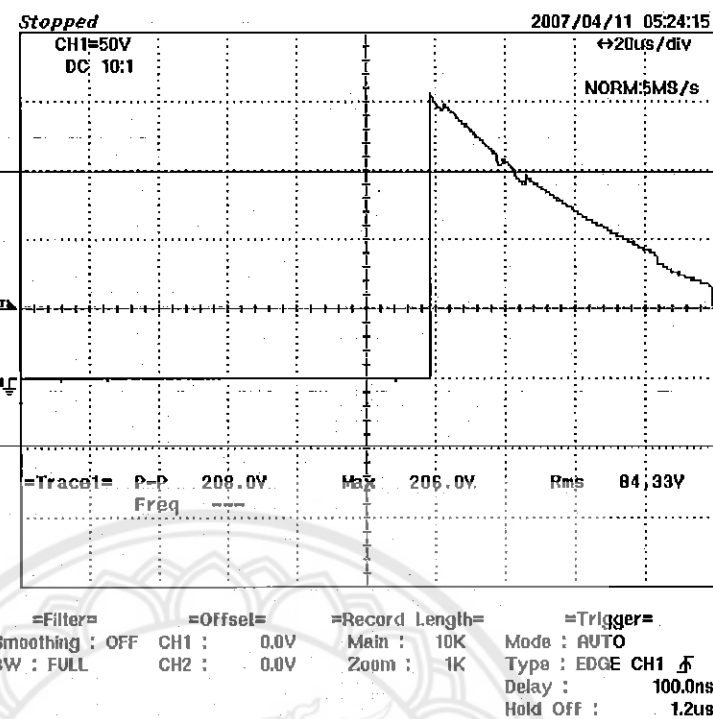


รูปที่ 4.13 ช่วงหลังคลื่นการทดลองครั้งที่ 3 แบบขยาย

และเมื่อเปรียบเทียบช่วงเวลาหน้าคลื่นและหลังคลื่น ที่ได้จากรูปที่ 4.12 และรูปที่ 4.13 โดยเวลาช่วงหน้าคลื่นอยู่ในช่วงเวลา $0.9 \mu\text{s}$ และเวลาช่วงหลังคลื่นอยู่ในช่วงเวลา $52.7 \mu\text{s}$

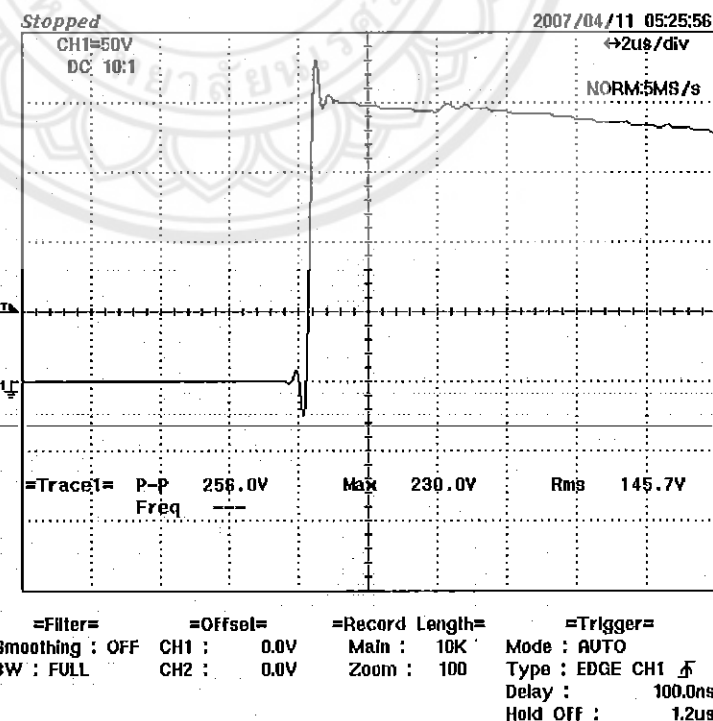
กับทฤษฎีแล้วจะเห็นว่ารูปคลื่นฟ้าผ่าที่ได้จากการทดลองเป็นไปตามทฤษฎี โดยมีเวลาช่วงหน้าคลื่นอยู่ในช่วงเวลา $1.2 \mu\text{s} \pm 30\%$ ซึ่งมีค่าอยู่ในช่วง $0.84-1.56 \mu\text{s}$ และเวลาช่วงหลังคลื่นอยู่ในช่วงเวลา $50 \mu\text{s} \pm 20\%$ ซึ่งมีค่าอยู่ในช่วง $40-60 \mu\text{s}$

ผลการทดสอบครั้งที่ 4



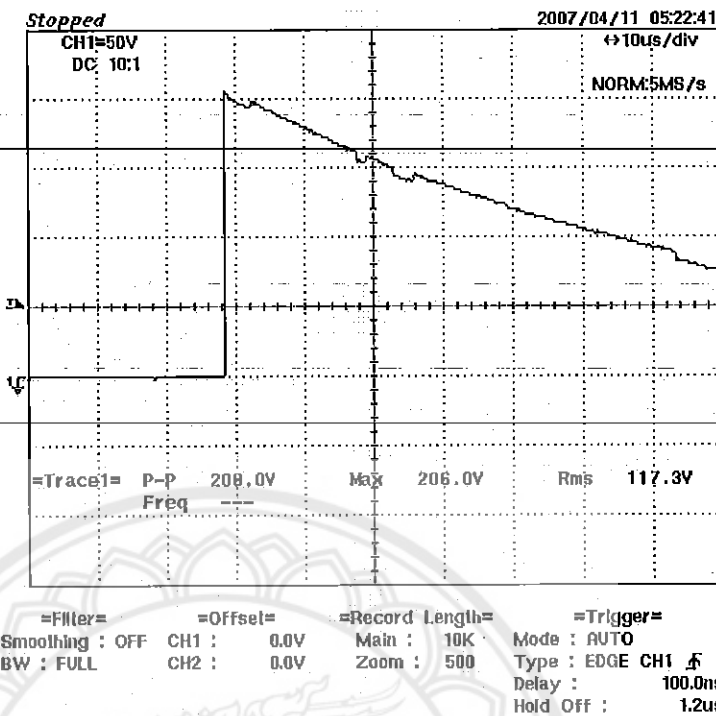
รูปที่ 4.14 รูปคลื่นฟ้าผ่าการทดสอบครั้งที่ 4

จากรูปที่ 4.14 จะเห็นได้ว่าขนาดของแรงดันของรูปคลื่นฟ้าผ่าเท่ากับ 206 โวลท์ ในส่วนของช่วงเวลาหน้าคลื่นจะใช้เวลาเท่ากับ $0.9 \mu\text{s}$ ดังรูปที่ 4.15



รูปที่ 4.15 ช่วงหน้าคลื่นการทดสอบครั้งที่ 4 แบบขยาย

ส่วนช่วงเวลาหลังคลื่นจะใช้เวลาท่ากับ $52.4 \mu\text{s}$ ดังรูปที่ 4.16

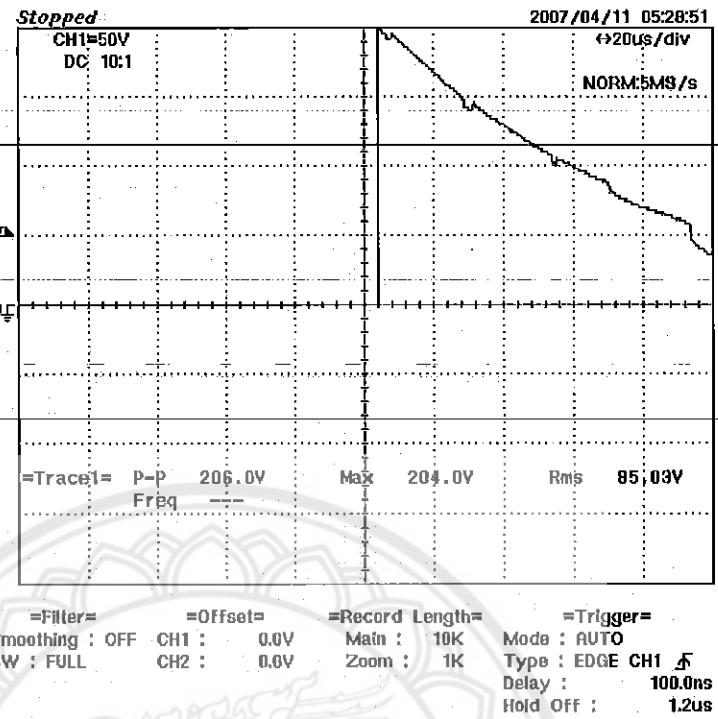


รูปที่ 4.16 ช่วงหลังคลื่นการทดลองครั้งที่ 4 แบบขยาย

และเมื่อเปรียบเทียบช่วงเวลาหน้าคลื่นและหลังคลื่น ที่ได้จากรูปที่ 4.15 และรูปที่ 4.16 โดยเวลาช่วงหน้าคลื่นอยู่ใน $0.9 \mu\text{s}$ และเวลาช่วงหลังคลื่นอยู่ในช่วงเวลา $52.4 \mu\text{s}$

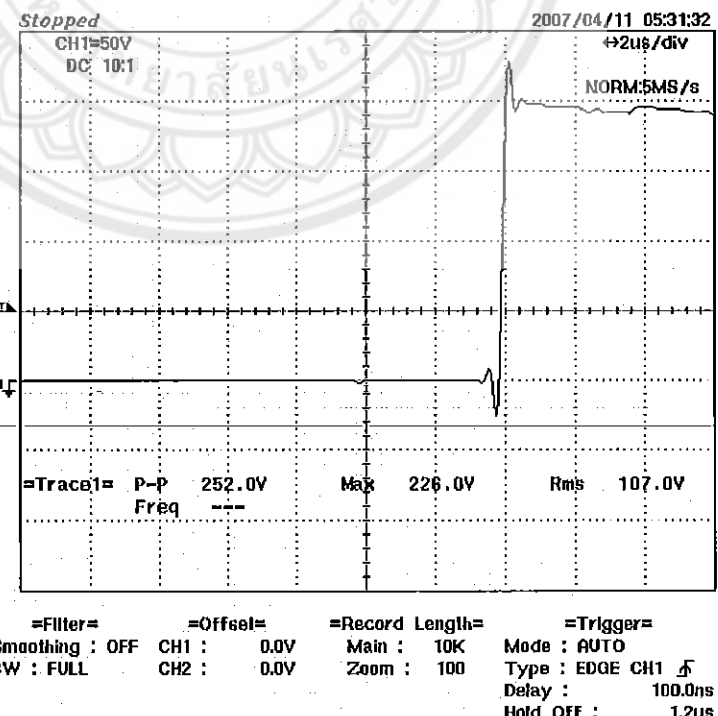
กับบทนูนวีแล้วจะเห็นว่ารูปคลื่นฟ้าผ่าที่ได้จากการทดลองเป็นไปตามทฤษฎี โดยมีเวลาช่วงหน้าคลื่นอยู่ในช่วงเวลา $1.2 \mu\text{s} \pm 30\%$ ซึ่งมีค่าอยู่ในช่วง $0.84-1.56 \mu\text{s}$ และเวลาช่วงหลังคลื่นอยู่ในช่วงเวลา $50 \mu\text{s} \pm 20\%$ ซึ่งมีค่าอยู่ในช่วง $40-60 \mu\text{s}$

ผลการทดสอบครั้งที่ ๕



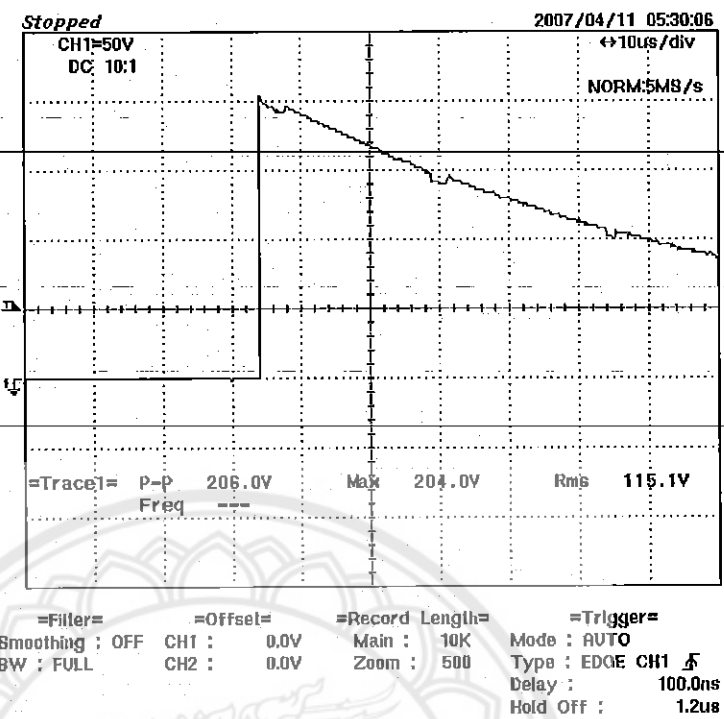
รูปที่ 4.17 รูปคลื่นฟ้าผ่าการทดสอบครั้งที่ 5

จากรูปที่ 4.17 จะเห็นได้ว่าขนาดของแรงดันของรูปคลื่นฟ้าผ่าเท่ากับ 204 โวลท์ ในส่วนของช่วงเวลาหน้าคลื่นจะใช้เวลาเท่ากับ 0.9 μ s ดังรูปที่ 4.18



รูปที่ 4.18 ช่วงหน้าคลื่นการทดสอบครั้งที่ 5 แบบขยาย

ส่วนช่วงเวลาหลังคลื่นจะใช้เวลาเท่ากับ $50 \mu\text{s}$ ดังรูปที่ 4.19



รูปที่ 4.19 ช่วงหลังคลื่นการทดลองครั้งที่ 5 แบบขยาย

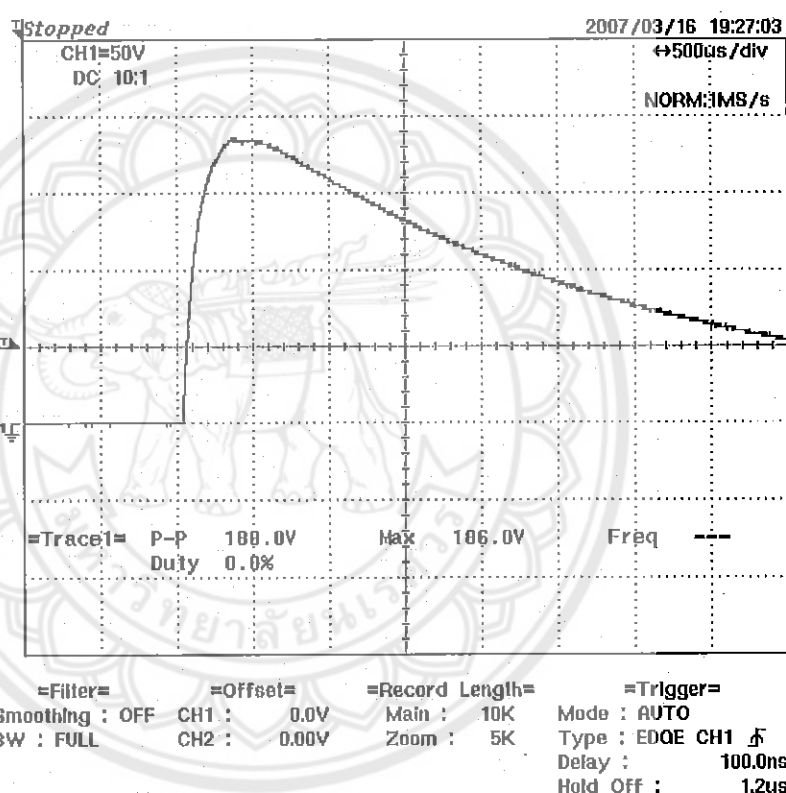
และเมื่อเปรียบเทียบช่วงเวลาหน้าคลื่นและหลังคลื่น ที่ได้จากรูปที่ 4.18 และรูปที่ 4.19 โดยเวลาช่วงหน้าคลื่นอยู่ในช่วงเวลา $0.9 \mu\text{s}$ และเวลาช่วงหลังคลื่นอยู่ในช่วงเวลา $50 \mu\text{s}$

กับทฤษฎีแล้วจะเห็นว่ารูปคลื่นฟ้าผ่าที่ได้จากการทดลองเป็นไปตามทฤษฎี โดยมีเวลาช่วงหน้าคลื่นอยู่ในช่วงเวลา $1.2 \mu\text{s} \pm 30\%$ ซึ่งมีค่าอยู่ในช่วง $0.84-1.56 \mu\text{s}$ และเวลาช่วงหลังคลื่นอยู่ในช่วงเวลา $50 \mu\text{s} \pm 20\%$ ซึ่งมีค่าอยู่ในช่วง $40-60 \mu\text{s}$

4.2.2 ผลการวิเคราะห์รูปคลื่นสวิตช์ชิ้ง

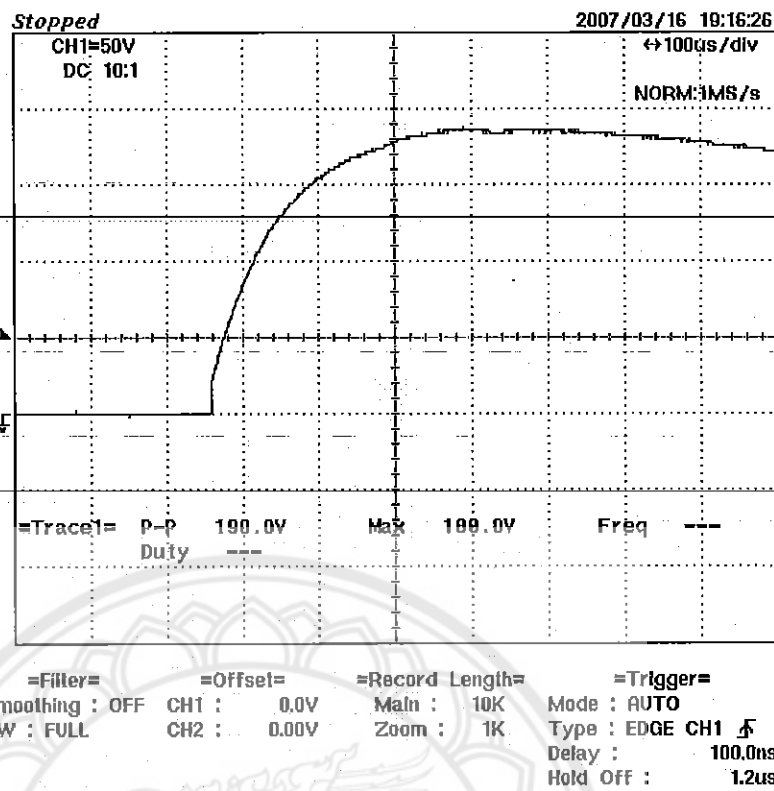
เมื่อวงจรกำเนิดแรงดันรูปคลื่นสวิตช์ชิ้งถูกจ่ายไฟ จากแหล่งจ่ายกระแสตรง (DC) ขนาด 220 โวลท์ เพื่อป้อนแรงดันอัคประจุให้กับตัวเก็บประจุอิมพัลส์ (C_s) จนกระทั่งได้แรงดันเท่ากับแหล่งจ่ายทำการสัมผัติช์เพื่อให้ตัวเก็บประจุอิมพัลส์ (C_s) ทำงานที่เป็นแหล่งจ่ายกระแสจ่ายไฟกับตัวเก็บประจุอิมพัลส์ (C_b) แล้วทำการวัดแรงดันที่ตอกคร่องตัวเก็บประจุอิมพัลส์ (C_b) ด้วยอสซิโลสโคป (Oscilloscope) จะได้รูปคลื่นสวิตช์ชิ้ง ดังรูป

ผลการทดลองครั้งที่ 1



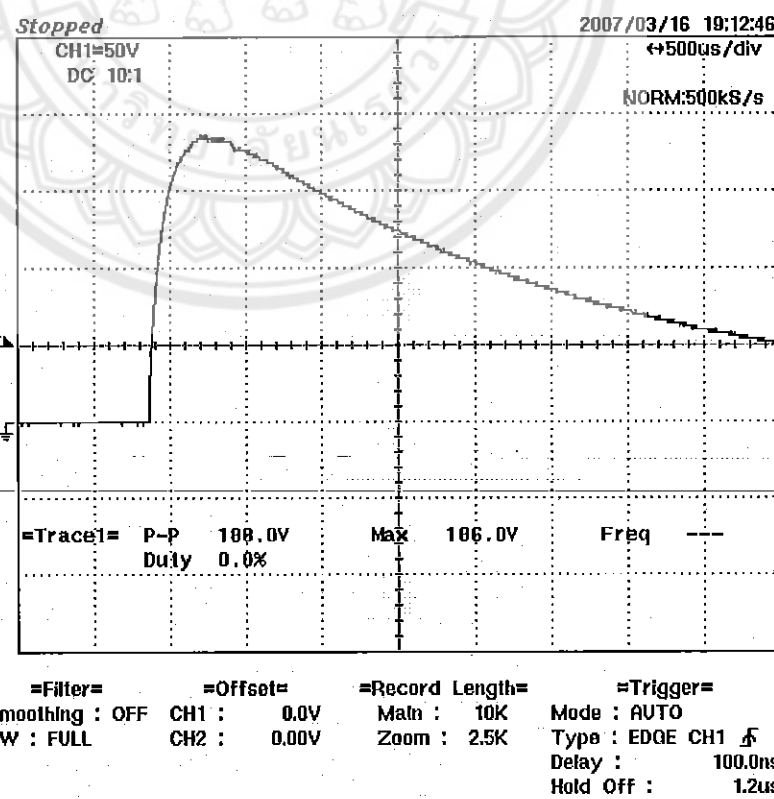
รูปที่ 4.20 รูปคลื่นสวิตช์ชิ้งการทดลองครั้งที่ 1

จากรูปที่ 4.20 จะเห็นได้ว่าขนาดของแรงดันของรูปคลื่นสวิตช์ชิ้งเท่ากับ 186 โวลท์ในส่วนของช่วงเวลาหน้าคลื่นจะใช้เวลาเท่ากับ 300 μ s ดังรูปที่ 4.21



รูปที่ 4.21 ช่วงหน้าคลื่นการทดลองครั้งที่ 1 แบบขยาย

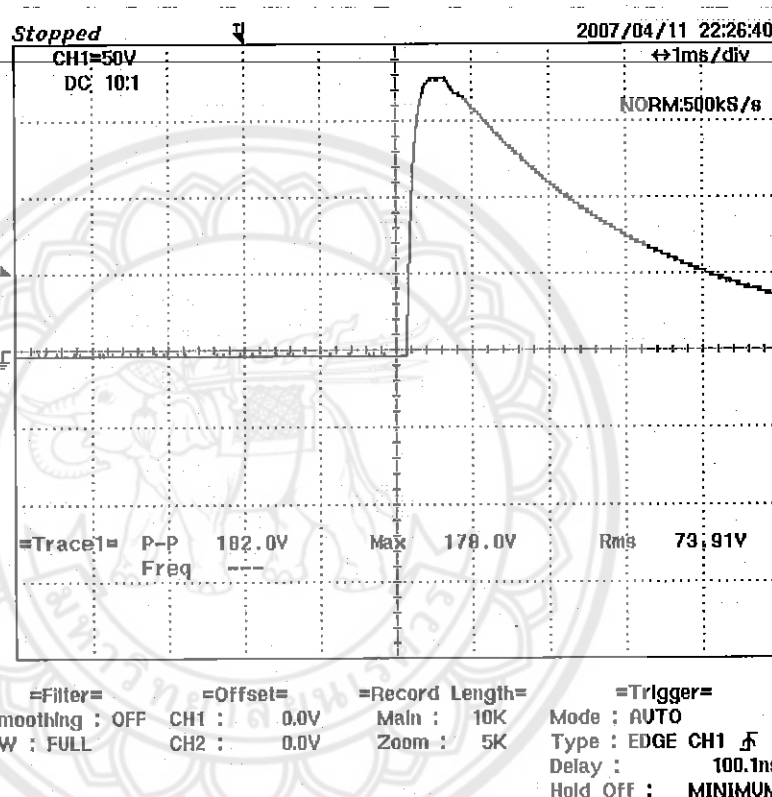
ส่วนช่วงเวลาหลังคลื่นจะใช้เวลาเท่ากับ 2440 μ s ดังรูปที่ 4.22



รูปที่ 4.22 ช่วงหลังคลื่นการทดลองครั้งที่ 1 แบบขยาย

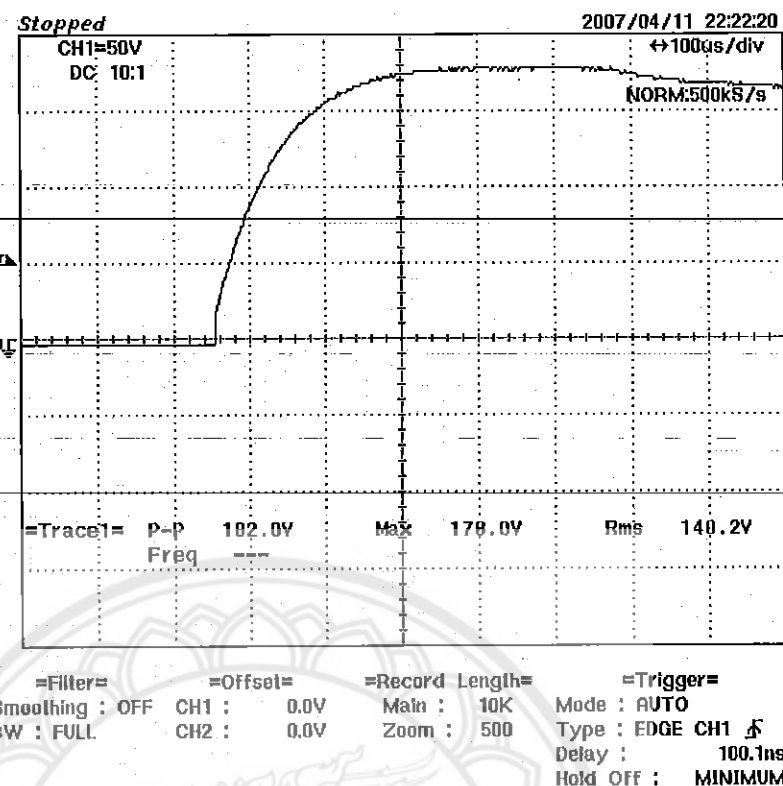
และเมื่อเปรียบเทียบช่วงเวลาหน้าคลื่นและหลังคลื่น ที่ได้จากรูปที่ 4.21 และรูปที่ 4.22 โดยมีเวลาช่วงหน้าคลื่นอยู่ในช่วงเวลา $300 \mu\text{s}$ และเวลาช่วงหลังคลื่นอยู่ในช่วงเวลา $2440 \mu\text{s}$ กับทฤษฎีแล้วจะเห็นว่ารูปคลื่นสวิตช์ซึ่งที่ได้จากการทดลองเป็นไปตามทฤษฎี โดยเวลาช่วงหน้าคลื่นอยู่ในช่วงเวลา $250 \mu\text{s} \pm 20\%$ ซึ่งมีค่าอยู่ในช่วง $200 - 300 \mu\text{s}$ และมีช่วงหลังคลื่นเท่ากับ $2500 \mu\text{s} \pm 60\%$ ซึ่งมีค่าอยู่ในช่วง $1000-4000 \mu\text{s}$

ผลการทดลองครั้งที่ 2



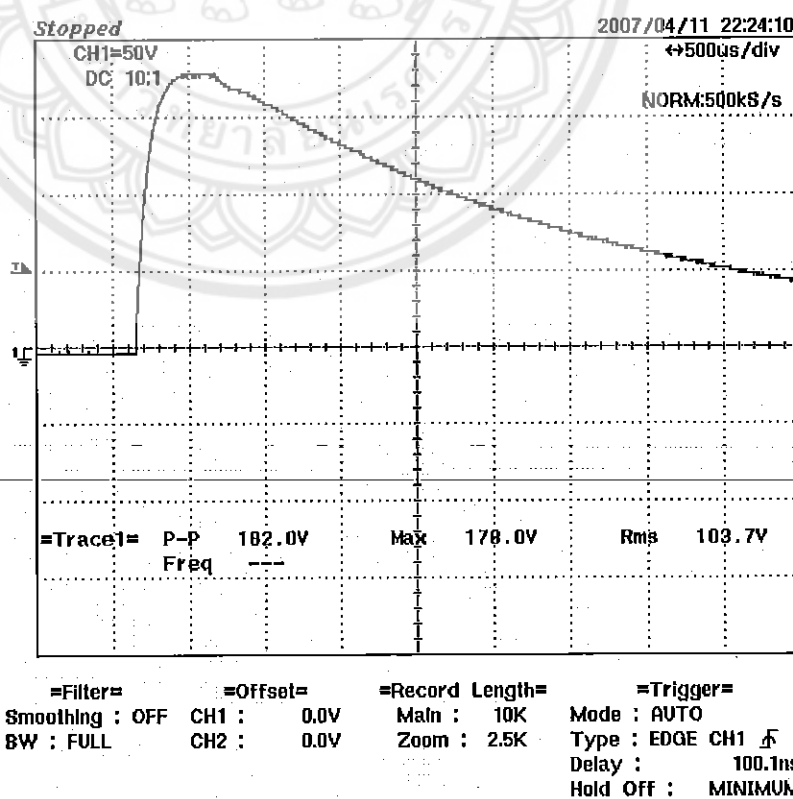
รูปที่ 4.23 รูปคลื่นสวิตช์ซึ่งการทดลองครั้งที่ 2

จากรูปที่ 4.23 จะเห็นได้ว่าขนาดของแรงดันของรูปคลื่นสวิตช์ซึ่งเท่ากับ 183 โวลท์ในส่วนของช่วงเวลาหน้าคลื่นจะใช้เวลาเท่ากับ $260 \mu\text{s}$ ดังรูปที่ 4.24



รูปที่ 4.24 ช่วงหน้าคลื่นการทดลองครั้งที่ 2 แบบขยาย

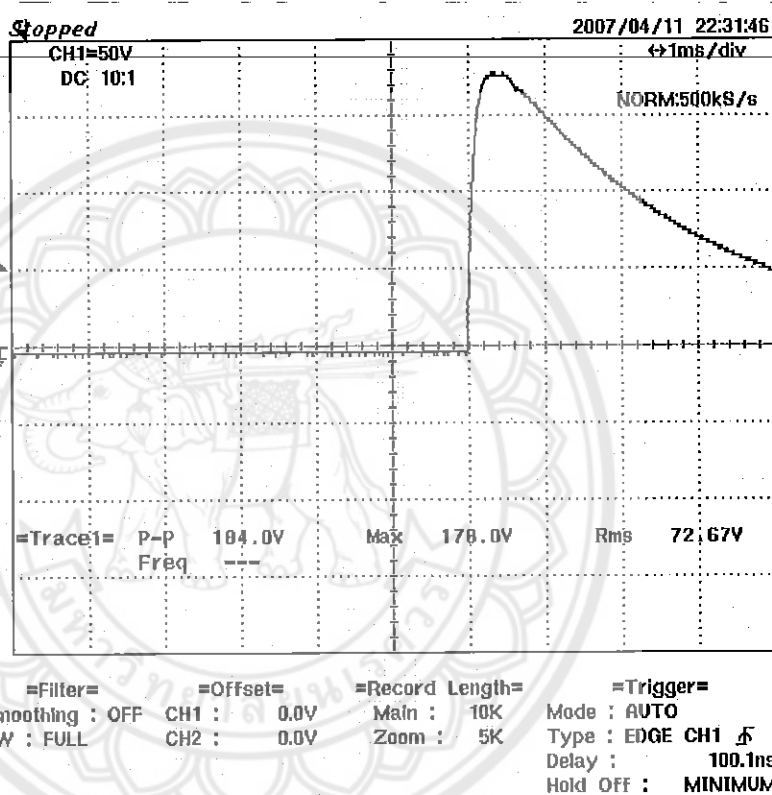
ส่วนช่วงเวลาหลังคลื่นจะใช้เวลาเท่ากับ 2475 μ s ดังรูปที่ 4.25



รูปที่ 4.25 ช่วงหลังคลื่นการทดลองครั้งที่ 2 แบบขยาย

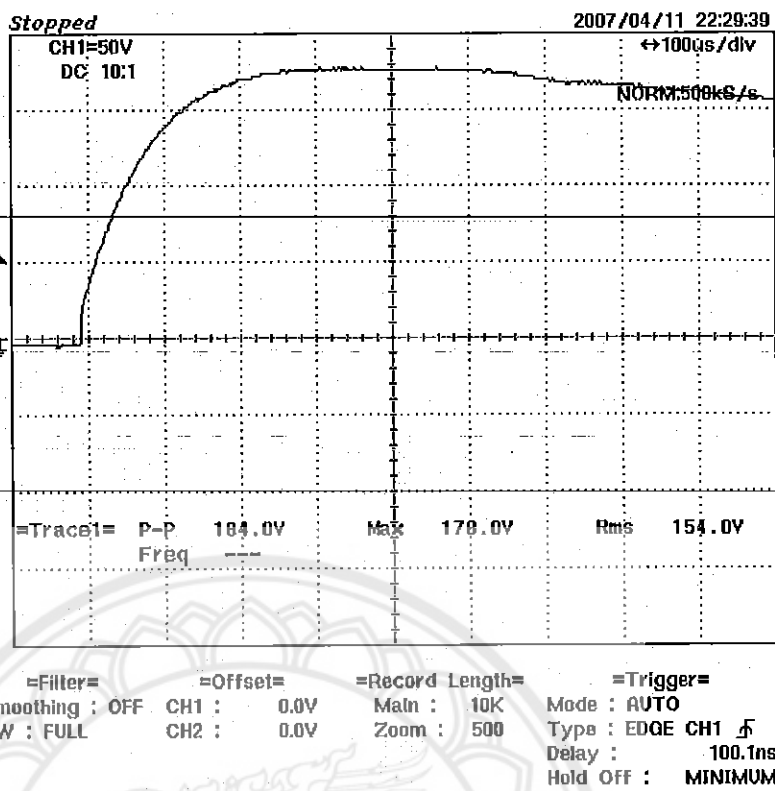
และเมื่อเปรียบเทียบช่วงเวลาหน้าคลื่นและหลังคลื่น ที่ได้จากรูปที่ 4.24 และรูปที่ 4.25 โดยมีเวลาช่วงหน้าคลื่นอยู่ในช่วงเวลา $260 \mu\text{s}$ และเวลาช่วงหลังคลื่นอยู่ในช่วงเวลา $2475 \mu\text{s}$ กับทฤษฎีแล้วจะเห็นว่ารูปคลื่นสวิตช์ซึ่งที่ได้จากการทดลองเป็นไปตามทฤษฎี โดยเวลาช่วงหน้าคลื่นอยู่ในช่วงเวลา $250 \mu\text{s} \pm 20\%$ ซึ่งมีค่าอยู่ในช่วง $200 - 300 \mu\text{s}$ และมีช่วงหลังคลื่นเท่ากับ $2500 \mu\text{s} \pm 60\%$ ซึ่งมีค่าอยู่ในช่วง $1000-4000 \mu\text{s}$

ผลการทดลองครั้งที่ 3



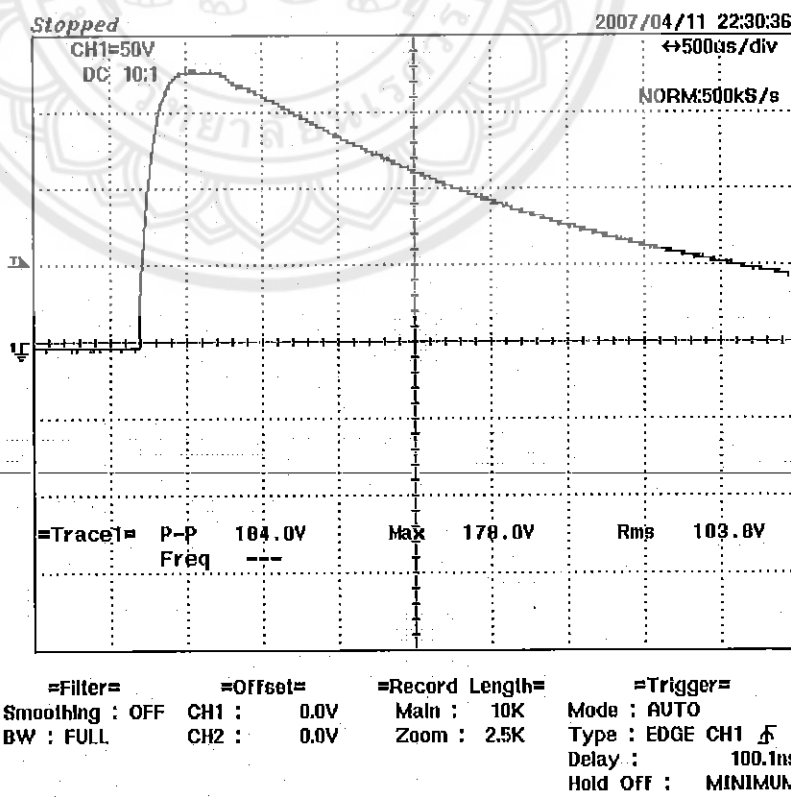
รูปที่ 4.26 รูปคลื่นสวิตช์ซึ่งการทดลองครั้งที่ 3

จากรูปที่ 4.26 จะเห็นได้ว่าขนาดของแรงดันของรูปคลื่นสวิตช์ซึ่งเท่ากับ 183 โวลท์ในส่วนของช่วงเวลาหน้าคลื่นจะใช้เวลาเท่ากับ $260 \mu\text{s}$ ดังรูปที่ 4.27



รูปที่ 4.27 ช่วงหน้าคลื่นการทดลองครั้งที่ 3 แบบขยาย

ส่วนช่วงเวลาหลังคลื่นจะใช้เวลาทำกับ 2425 μS ดังรูปที่ 4.28

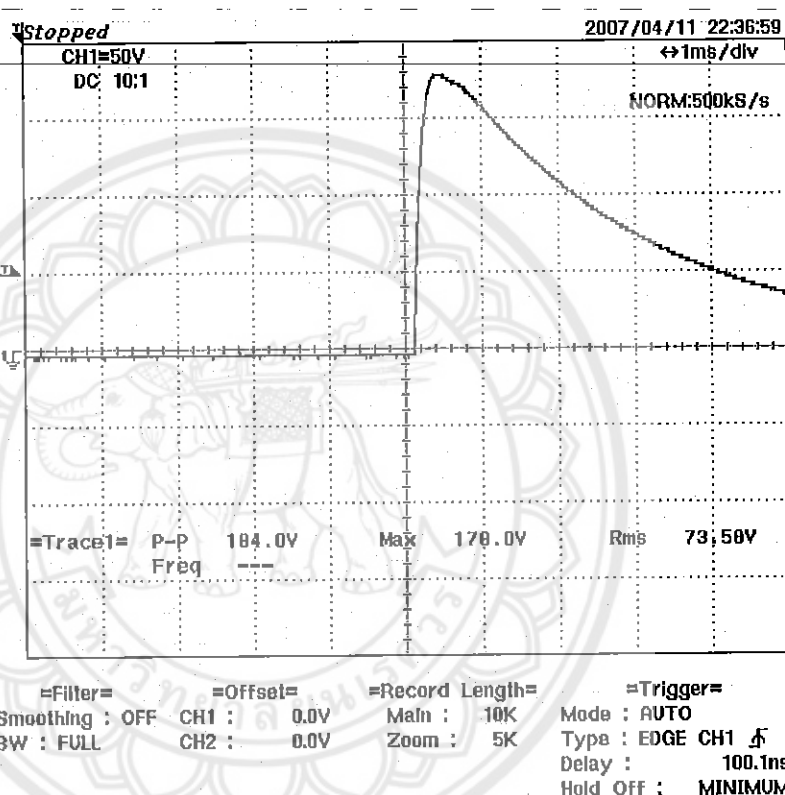


รูปที่ 4.28 ช่วงหลังคลื่นการทดลองครั้งที่ 3 แบบขยาย

และเมื่อเปรียบเทียบช่วงเวลาหน้าคลื่นและหลังคลื่น ที่ได้จากรูปที่ 4.27 และรูปที่ 4.28 โดยมีเวลาช่วงหน้าคลื่นอยู่ในช่วงเวลา $260 \mu\text{s}$ และเวลาช่วงหลังคลื่นอยู่ในช่วงเวลา $2425 \mu\text{s}$

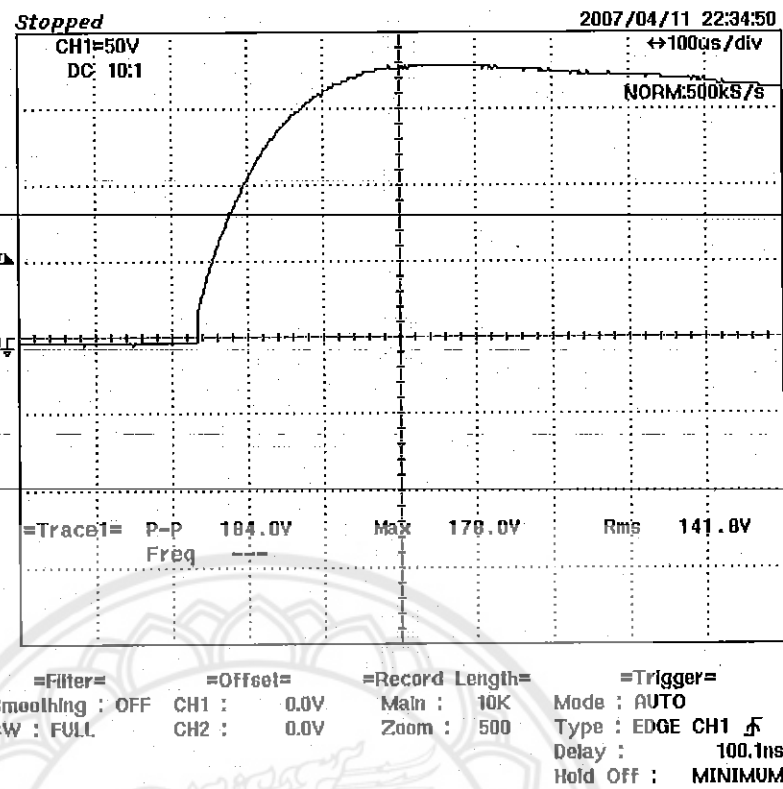
กับทฤษฎีแล้วจะเห็นว่ารูปคลื่นสวิตช์ซึ่งที่ได้จากการทดลองเป็นไปตามทฤษฎี โดยเวลาช่วงหน้าคลื่นอยู่ในช่วงเวลา $250 \mu\text{s} \pm 20\%$ ซึ่งมีค่าอยู่ในช่วง $200 - 300 \mu\text{s}$ และมีช่วงหลังคลื่นเท่ากับ $2500 \mu\text{s} \pm 60\%$ ซึ่งมีค่าอยู่ในช่วง $1000-4000 \mu\text{s}$

ผลการทดลองครั้งที่ 4



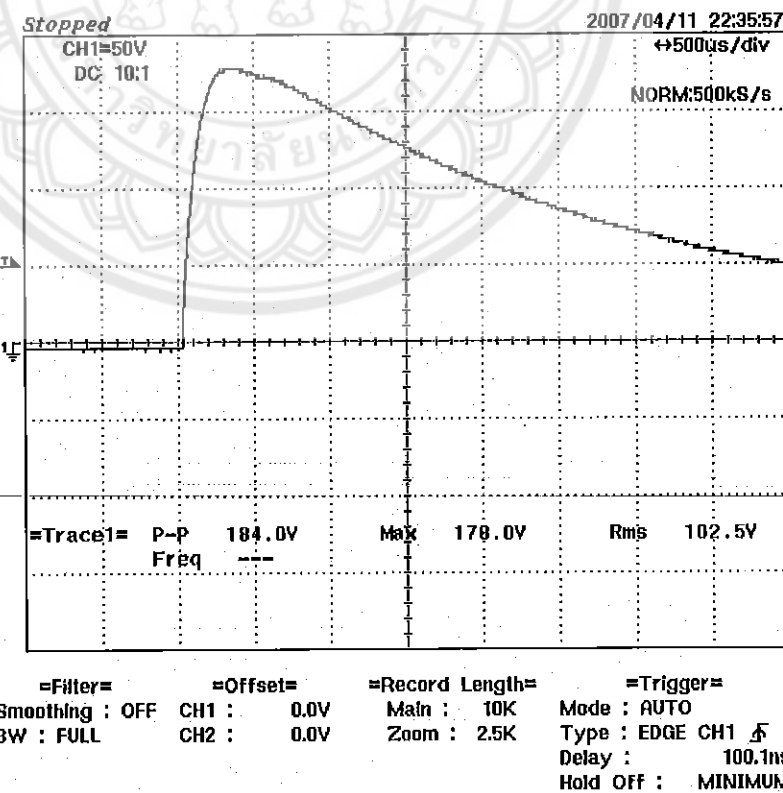
รูปที่ 4.29 รูปคลื่นสวิตช์ซึ่งการทดลองครั้งที่ 4

จากรูปที่ 4.29 จะเห็นได้ว่าขนาดของแรงดันของรูปคลื่นสวิตช์ซึ่งเท่ากับ 183 โวลท์ในส่วนของช่วงเวลาหน้าคลื่นจะใช้เวลาเท่ากับ $280 \mu\text{s}$ ดังรูปที่ 4.30



รูปที่ 4.30 ช่วงหน้าคลื่นการทดลองครั้งที่ 4 แบบขยาย

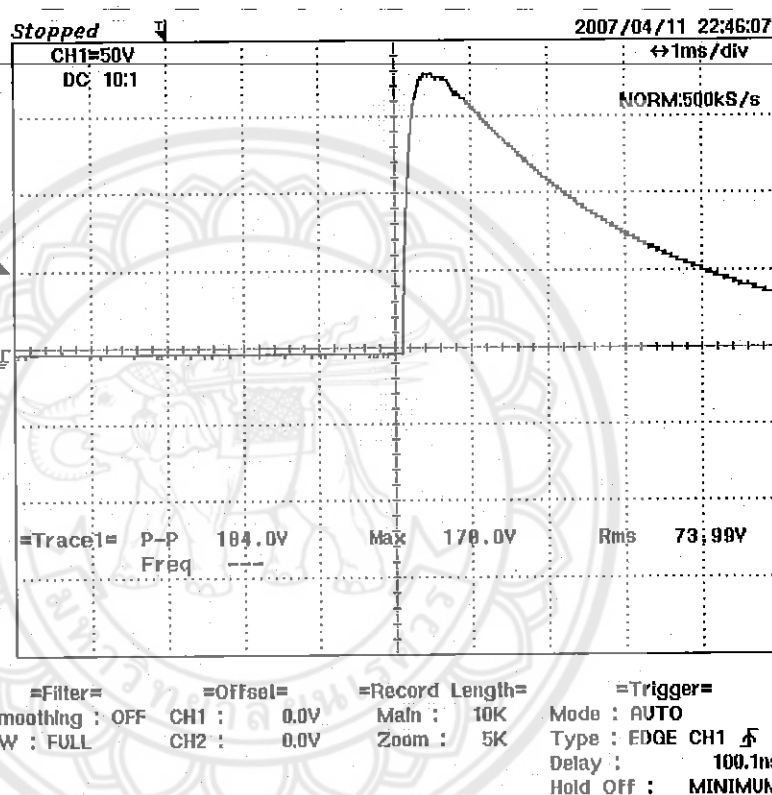
ตัววัดช่วงเวลาหลังคลื่นจะใช้เวลาเท่ากับ 2450 μs ดังรูปที่ 4.31



รูปที่ 4.31 ช่วงหลังคลื่นการทดลองครั้งที่ 4 แบบขยาย

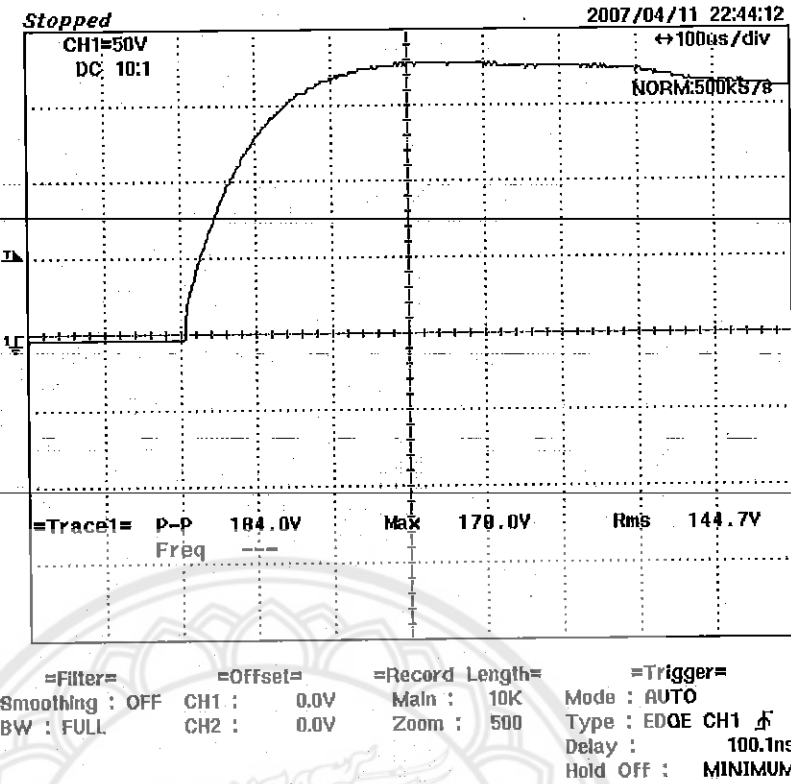
และเมื่อเปรียบเทียบช่วงเวลาหน้าคลื่นและหลังคลื่น ที่ได้จากรูปที่ 4.30 และรูปที่ 4.31 โดยมีเวลาช่วงหน้าคลื่นอยู่ในช่วงเวลา $280 \mu\text{s}$ และเวลาช่วงหลังคลื่นอยู่ในช่วงเวลา $2450 \mu\text{s}$ กับทฤษฎีแล้วจะเห็นว่ารูปคลื่นสวิตช์ซึ่งที่ได้จากการทดลองเป็นไปตามทฤษฎี โดยเวลาช่วงหน้าคลื่นอยู่ในช่วงเวลา $250 \mu\text{s} \pm 20\%$ ซึ่งมีค่าอยู่ในช่วง $200 - 300 \mu\text{s}$ และมีช่วงหลังคลื่นเท่ากับ $2500 \mu\text{s} \pm 60\%$ ซึ่งมีค่าอยู่ในช่วง $1000-4000 \mu\text{s}$

ผลการทดลองครั้งที่ 5



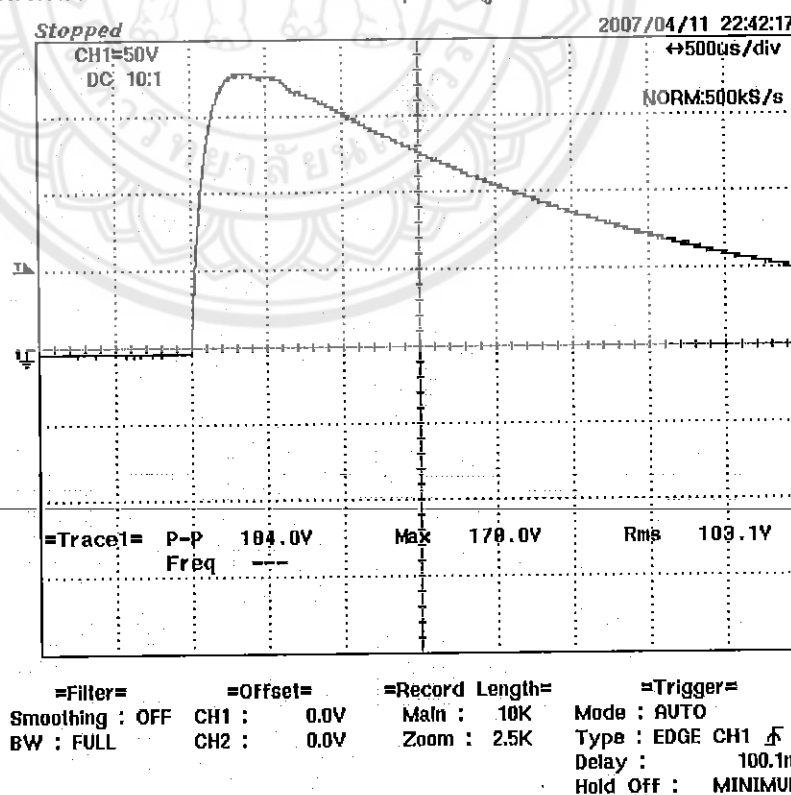
รูปที่ 4.32 รูปคลื่นสวิตช์ซึ่งการทดลองครั้งที่ 5

จากรูปที่ 4.32 จะเห็นได้ว่าขนาดของแรงดันของรูปคลื่นสวิตช์ซึ่งเท่ากับ 183 โวลท์ในส่วนของช่วงเวลาหน้าคลื่นจะใช้เวลาเท่ากับ $276 \mu\text{s}$ ดังรูปที่ 4.33



รูปที่ 4.33 ช่วงหน้าคลื่นการทดสอบครั้งที่ 5 แบบขยาย

ส่วนช่วงเวลาหลังคลื่นจะใช้เวลาเท่ากับ 2480 μs ดังรูปที่ 4.34



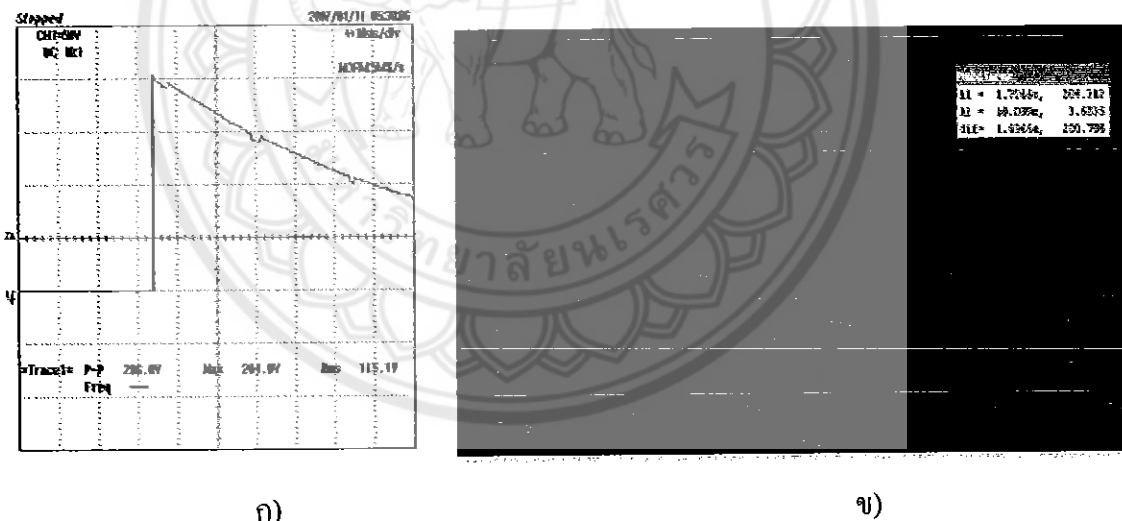
รูปที่ 4.34 ช่วงหลังคลื่นการทดสอบครั้งที่ 5 แบบขยาย

และเมื่อเปรียบเทียบช่วงเวลาหน้าคลื่นและหลังคลื่น ที่ได้จากรูปที่ 4.33 และรูปที่ 4.34 โดยมีเวลาช่วงหน้าคลื่นอยู่ในช่วงเวลา $276 \mu\text{s}$ และเวลาช่วงหลังคลื่นอยู่ในช่วงเวลา $2480 \mu\text{s}$ กับทฤษฎีแล้วจะเห็นว่ารูปคลื่นสิ่งที่ได้จากการทดลองเป็นไปตามทฤษฎี โดยเวลาช่วงหน้าคลื่นอยู่ในช่วงเวลา $250 \mu\text{s} \pm 20\%$ ซึ่งมีค่าอยู่ในช่วง $200 - 300 \mu\text{s}$ และนิ่ว่งหลังคลื่นเท่ากับ $2500 \mu\text{s} \pm 60\%$ ซึ่งมีค่าอยู่ในช่วง $1000-4000 \mu\text{s}$

4.3 การเปรียบเทียบรูปคลื่นแรงดันอิมพัลส์จากการทดลองกับการจำลองผลด้วยโปรแกรม PSpice

4.3.1 การเปรียบเทียบของรูปคลื่นฟ้าผ่าจากผลการทดลองกับการจำลองผล

จากรูปที่ 4.35 แสดงการเปรียบเทียบของรูปคลื่นฟ้าผ่าจากผลการทดลองกับการจำลองผลโดยที่รูปคลื่นฟ้าผ่าจากการทดลองมีค่าแรงดันยอดที่ 204 โวลท์ มีช่วงเวลาหน้าคลื่นเท่ากับ $0.9 \mu\text{s}$ และมีช่วงเวลาหลังคลื่นเท่ากับ $50 \mu\text{s}$ และรูปคลื่นจากการจำลองมีแรงดันยอดที่ 204 โวลท์ มีช่วงเวลาหน้าคลื่นเท่ากับ $1.7 \mu\text{s}$ และมีช่วงเวลาหลังคลื่นเท่ากับ $15.8 \mu\text{s}$

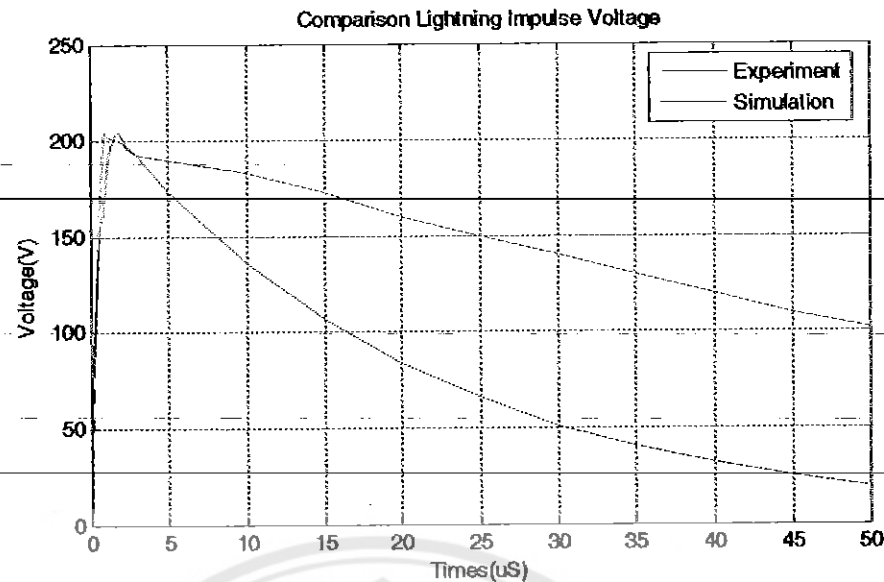


(ก)

(ข)

รูปที่ 4.35 การเปรียบเทียบของรูปคลื่นฟ้าผ่าจาก ก) ผลการทดลอง กับ ข) การจำลองผล

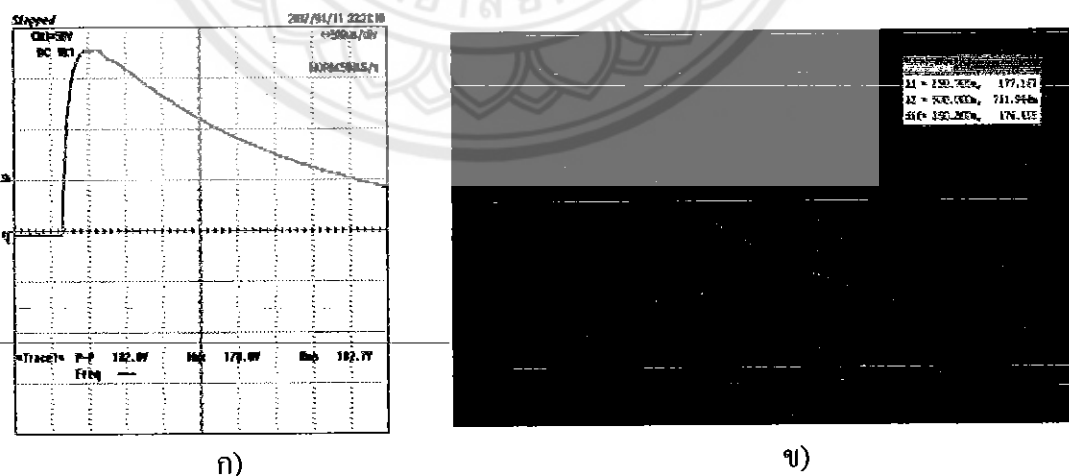
จากรูปที่ 4.36 เป็นกราฟที่แสดงผลการเปรียบเทียบระหว่างแรงดันอิมพัลส์ของรูปคลื่นฟ้าผ่าจากการทดลองกับแรงดันอิมพัลส์รูปคลื่นฟ้าผ่าจากการจำลองผล ที่ช่วงเวลาต่างๆ



รูปที่ 4.36 กราฟเปรียบเทียบแรงดันอิมพัลส์รูปคลื่นฟ้าผ่าระหว่างการทดลองกับการจำลองผล

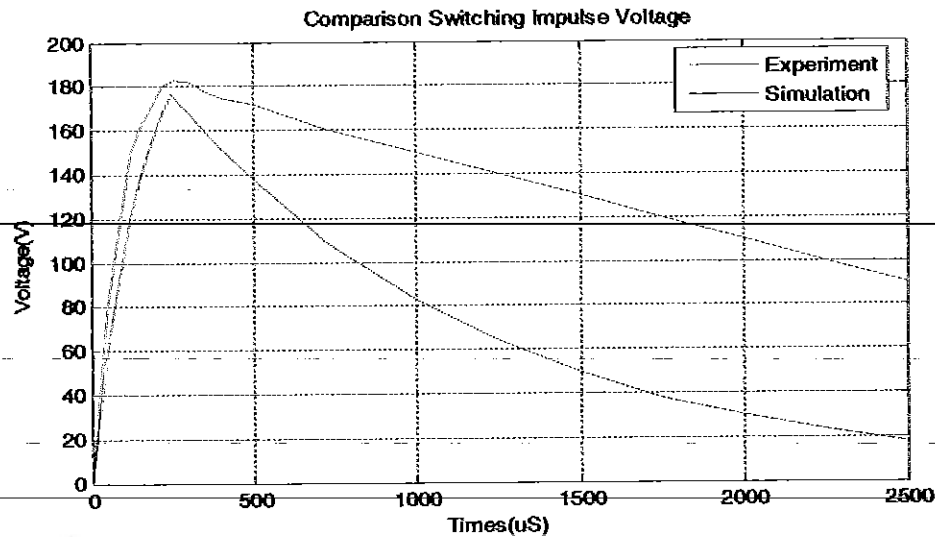
4.3.2 การเปรียบเทียบรูปคลื่นสวิตช์ซึ่งจากผลการทดลองกับการจำลองผล

จากรูปที่ 4.37 แสดงการเปรียบเทียบของรูปคลื่นสวิตช์ซึ่ง ซึ่งได้จากการทดลองกับการจำลองผล โดยที่รูปคลื่นสวิตช์ซึ่งจากการทดลองมีค่าแรงดันยอดที่ 183 โวลท์ มีช่วงเวลาหน้าคลื่นเท่ากับ 260 μS และมีช่วงเวลาหลังคลื่นเท่ากับ 2475 μS และรูปคลื่นจากการจำลองมีแรงดันยอดที่ 177 โวลท์ มีช่วงเวลาหน้าคลื่นเท่ากับ 250 μS และมีช่วงเวลาหลังคลื่นเท่ากับ 780 μS



รูปที่ 4.37 การเปรียบเทียบของรูปคลื่นสวิตช์ซึ่งจาก ก) ผลการทดลองกับ ข) การจำลองผล

จากรูปที่ 4.38 เป็นกราฟที่แสดงผลการเปรียบเทียบระหว่างแรงดันอิมพัลส์แบบสวิตช์ซึ่งจากการทดลองกับแรงดันอิมพัลส์แบบสวิตช์ซึ่งจากการจำลองผล ที่ช่วงเวลาต่างๆ



รูปที่ 4.38 กราฟเปรียบเทียบแรงดันอิมพัลส์แบบสวิตช์ชั่วระหว่างการทดลองกับการจำลองผล

เมื่อทำการแสดงผลการวิเคราะห์รูปคลื่นที่เกิดขึ้นจากการทดลองจริงและการจำลองผลจากโปรแกรม ให้ สอดคล้องกับรูปคลื่นตามทฤษฎี สามารถสรุปได้ดังตารางต่อไปนี้

ตารางที่ 4.1 ผลการทดลองกับการจำลองผลจาก Pspice เปรียบเทียบกับทฤษฎี

	แรงดันอิมพัลส์รูปคลื่นฟ้าผ่า		แรงดันอิมพัลส์แบบสวิตช์ชั่ว	
	ช่วงเวลาหน้าคลื่น (μs)	ช่วงเวลาหลังคลื่น (μs)	ช่วงเวลาหน้าคลื่น (μs)	ช่วงเวลาหลังคลื่น (μs)
ทฤษฎี	$1.2 \pm 30\%$ (0.84 - 1.56)	$50 \pm 20\%$ (40 - 60)	$250 \pm 20\%$ (200 - 300)	$2500 \pm 60\%$ (1000 - 4000)
ผลจากการ Simulate	1.7	15.8	250	780
ผลการทดลอง จริงครั้งที่ 1	1.0	52.5	300	2440
ผลการทดลอง จริงครั้งที่ 2	0.95	52.0	260	2475
ผลการทดลอง จริงครั้งที่ 3	0.9	52.7	260	2425
ผลการทดลอง จริงครั้งที่ 4	0.9	54.4	280	2450
ผลการทดลอง จริงครั้งที่ 5	0.9	50.0	276	2480

บทที่ 5

สรุปการวิเคราะห์รูปคลื่น

โครงการนี้เป็นการศึกษาและออกแบบเครื่องกำเนิดแรงดันอิมพัลส์ โดยได้แบ่งการค้นคว้าออกเป็น 3 ส่วน คือ ส่วนแรก เป็นการศึกษาและออกแบบสร้างวงจรเครื่องกำเนิดแรงดันอิมพัลส์ ทั้งแบบคลื่นฟ้าผ่า และแบบสวิตช์ชีง และการหาค่าพารามิเตอร์ต่างๆ ในวงจร ในส่วนที่สองของ การค้นคว้า คือการจำลองรูปคลื่นของวงจรเครื่องกำเนิดแรงดันอิมพัลส์โดยใช้โปรแกรม PSpice และการสร้างและติดตั้งอุปกรณ์ตัวจริงเครื่องกำเนิดแรงดันอิมพัลส์ขึ้น และในส่วนสุดท้าย คือ แสดงการเปรียบเทียบการจำลองผลรูปคลื่นเปรียบเทียบกับผลการทดลองจริง โดยแสดงผลรูปคลื่นที่เกิดขึ้นจากการทดลองจริงและผลการจำลองจากโปรแกรม สอดคล้องกับรูปคลื่นตามทฤษฎี

เนื่องจากโครงการนี้เป็นการศึกษาและออกแบบเครื่องกำเนิดแรงดันอิมพัลส์ และอาจใช้ เป็นสื่อการเรียนรู้ในรายวิชาวิศวกรรมไฟฟ้าแรงสูง (High Voltage Engineering) เกี่ยวกับการศึกษา และวิเคราะห์รูปคลื่นที่เกิดจากแรงดันอิมพัลส์

เมื่อได้ทำการสร้างวงจรเครื่องกำเนิดแรงดันอิมพัลส์ ทั้งแบบฟ้าผ่าและแบบสวิตช์ชีงขึ้นใน โครงการนี้ ทำให้พบข้อมูลบางอย่าง และพบปัญหาที่เกิดขึ้นขณะทำการทดลองในบางประการ อันเนื่องมาจากการทดลองจริง ทำให้สามารถสรุปผลของโครงการนี้ออกเป็นส่วนๆ ดังนี้ คือ

5.1 สรุปผล

จากการสร้างตัวจริงเครื่องกำเนิดแรงดันอิมพัลส์ขึ้น ซึ่งได้ทำการทดสอบและจำลอง โดยใช้โปรแกรม PSpice เพื่อหาข้อสรุปว่า หลักการที่นำมาใช้กับโครงการนี้ มีความเป็นไปได้ตาม ทฤษฎี โดยได้เริ่มต้นจากการคำนวณหาค่าพารามิเตอร์มาตรฐานทดสอบเพื่อให้ได้รูปคลื่นมาตรฐานที่ก และ วิเคราะห์ตามหลักการในบทที่ 2 พ布ว่าสามารถทำงานได้ตามที่คาดไว้ คือ สามารถได้รูปคลื่นที่มี ช่วงเวลาหน้าคลื่น และหลังคลื่นตรงตามที่ทฤษฎีกำหนดไว้

เมื่อเห็นข้อสรุปที่ชัดเจนจากการจำลองนี้แล้ว จึงได้นำไปสร้างจริง กับวงจรเครื่องกำเนิด แรงดันอิมพัลส์ทั้ง 2 แบบ ทำให้พบว่ารูปคลื่นที่ได้จากการเครื่องกำเนิดแรงดันอิมพัลส์ ทั้ง 2 แบบ นั้น เมื่อนำมาวิเคราะห์แล้วรูปคลื่นที่ได้เป็นไปตามที่ทฤษฎีกำหนด

สามารถสรุปได้ว่างวงจรเครื่องกำเนิดแรงดันอิมพัลส์ที่สร้างขึ้น สามารถทำงานได้จริง และ อาจนำไปใช้เป็นสื่อการเรียนรู้ในรายวิชาวิศวกรรมไฟฟ้าแรงสูง (High Voltage Engineering) เกี่ยวกับการศึกษาและวิเคราะห์รูปคลื่นที่เกิดจากแรงดันอิมพัลส์ได้

5.2 ปัญหาและแนวทางแก้ไข

เนื่องจากค่าตัวเกินประจุและค่าความด้านท่านที่คำนวณมาตามทฤษฎีไม่ตรงตามที่อุปกรณ์มีจำนวนตามห้องตลาด ส่วนซ่องแกปที่ใช้ในวงจรแรงดันอิมพัลส์ นั้นมีความยุ่งยาก และซับซ้อนในการออกแบบและการใช้งาน

แนวทางแก้ไขในส่วนของค่าตัวเกินประจุและค่าความด้านท่าน เลือกใช้ค่าที่ความใกล้เคียงกับค่าที่ได้จากการคำนวณ หรือจะนำตัวเก็บประจุ หรือตัวด้านท่าน มาต่ออนุกรมหรือ ขนาดกันเพื่อให้ได้ค่าใกล้เคียงกับค่าที่คำนวณจริง ในส่วนของซ่องแกปนั้นเลือกอุปกรณ์ที่เป็นสวิตช์ 3 ทางแทน (เนื่องจากใช้แรงดันเพียง 220 โวลท์) เพื่อช่วยให้ง่ายต่อการใช้งาน

5.3 ข้อเสนอแนะ

การออกแบบเครื่องกำเนิดแรงดันอิมพัลส์ ให้มีค่าแรงดันสูงขึ้น เราต้องมีแหล่งจ่ายไฟที่สูงตามไปด้วย แต่ในทางปฏิบัติ แหล่งจ่ายไฟสูงไม่ค่อยมี จึงควรออกแบบวงจรเครื่องกำเนิดแรงดันอิมพัลส์ เป็นแบบหลายชั้น เพื่อทวีแรงดันขึ้น แต่ก็อาจทำให้ใช้สวิตช์ 3 ทางแทนส่วนที่เป็นซ่องแกป ไม่ได้จึงควรเลือกและออกแบบใช้อุปกรณ์ Mechanic ที่เหมาะสมและง่ายขึ้นในการใช้งานแทน เช่น กระเดื่อง ปืนยิงอิเล็กตรอน เป็นต้น รวมทั้งด้านของตัวอุปกรณ์ โดยการเลือกใช้อุปกรณ์จะเป็นปัจจัยสำคัญอย่างยิ่ง เพราะเมื่อมีแรงดันที่สูงขึ้น ก็ควรเลือกอุปกรณ์ที่มีความทนต่อแรงดัน และกระแสสูงๆ ได้ตามไปด้วย และอาจจะเกิดปัญหาในการวัดแรงดันที่สูงเพิ่มขึ้น จึงต้องอาศัยการวัดแรงดันแบบโวลท์เตจดิไวเดอร์ และผลการทดสอบที่ได้จากโรงงานนี้ไม่ตรงกับทฤษฎี 100% อันเนื่องมาจากการออกแบบยังใช้อุปกรณ์ห้องตลาดทั่วไป จึงควรพัฒนาใช้อุปกรณ์ที่มีการออกแบบเพื่อใช้งานโดยเฉพาะ เพื่อที่จะได้ผลการทดสอบให้ตรงตามทฤษฎีมากที่สุด

เอกสารอ้างอิง

[1] ดร.สำราญ สังข์สะอุด. วิศวกรรมไฟฟ้าแรงสูง. กรุงเทพมหานคร : 2528.

[2] E. Kuffel, W. S. Zaengl. High Voltage Engineering Fundamentals. : 1984.



ประวัติผู้เขียนโครงการ



ชื่อ นายชราพงษ์ นำรุ่ง
 ภูมิลำเนา 15 ซอย 18/1 ถ.ศรีมหาสารคาม ต.ตลาด อ.เมือง
 จ.มหาสารคาม 44000

ประวัติการศึกษา

- จบการศึกษาชั้นมัธยมศึกษา โรงเรียนสารคามพิทยาคม
- ปัจจุบันกำลังศึกษาในระดับปริญญาตรีชั้นปีที่ 4
 สาขาวิชาวิศวกรรมไฟฟ้า คณะวิศวกรรมศาสตร์
 มหาวิทยาลัยนเรศวร

E-mail : dollar_eenu@hotmail.com



ชื่อ นายวิศว หล่อวงศ์
 ภูมิลำเนา 154 หมู่ 6 ต.บ้านตุ่น อ.เมือง จ.พระยา 56000

ประวัติการศึกษา

- จบการศึกษาชั้นมัธยมศึกษา โรงเรียนปากవิวนิชวิทยาคม
- ปัจจุบันกำลังศึกษาในระดับปริญญาตรีชั้นปีที่ 4
 สาขาวิชาวิศวกรรมไฟฟ้า คณะวิศวกรรมศาสตร์
 มหาวิทยาลัยนเรศวร

E-mail : team.h@hotmail.com